



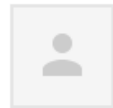
Low-metallicity active galactic nuclei: challenges toward identifying young SMBHs

Tohru Nagao
Ehime University, Japan



An e-mail from Toma-san

招待講演のお願い



Kenji Toma <toma@astr.tohoku.ac.jp>

to Tohru ▾

Nov 3

長尾様、

東北大の當真です。

「初代星・初代銀河研究会」への参加ありがとうございます。

長尾さんには

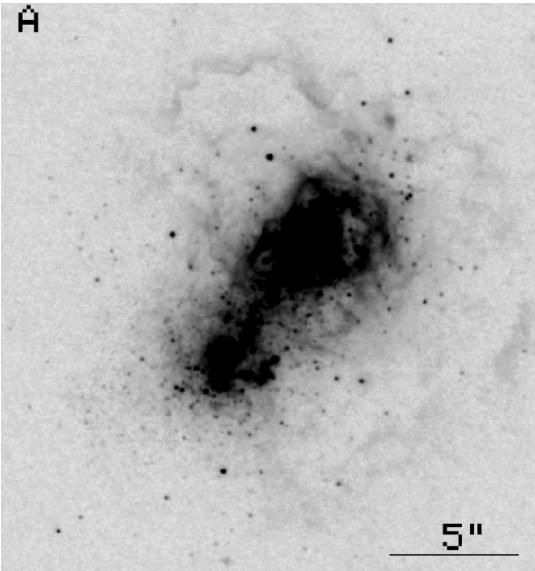
超低金属量の銀河と活動銀河核形成

について招待講演をお願いしたいと考えております。

お引き受けいただけますでしょうか？

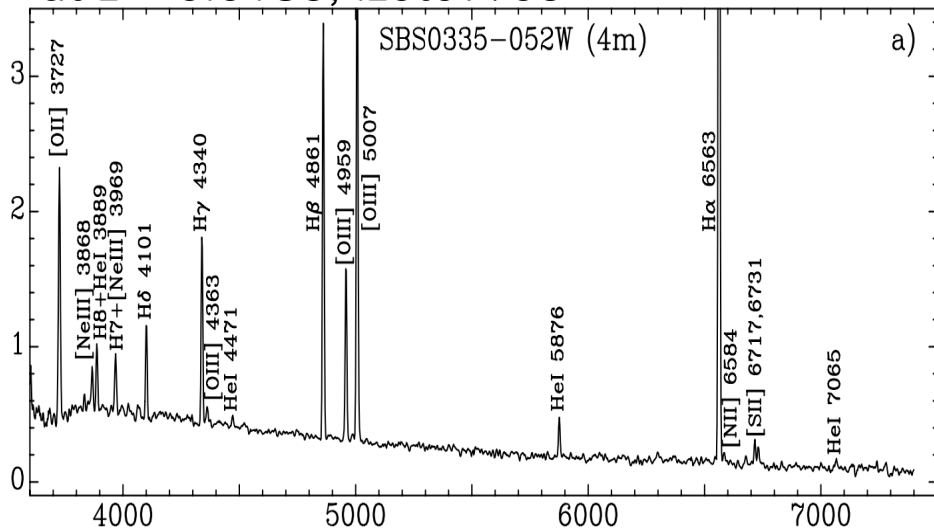


eXtremely Metal-Poor Galaxies (XMPGs)



HSC/ACS
F555W image of
I Zw 18
 $z \sim 0.0025$
 $12+\log(\text{O/H}) \sim 7.1$
Izotov+04

SBS 0335-052 ($12+\log(\text{O/H}) \sim 7.2$)
at $z \sim 0.0135$; Izotov+05



“超”低金属量銀河 (XMPG)

$$12+\log(\text{O/H}) < 7.65 \text{ or}$$

$$Z_{\text{gas}} < 1/12 Z_{\text{sun}}$$

(e.g., Kniazev+03, Izotov+06,
Nagao+06)

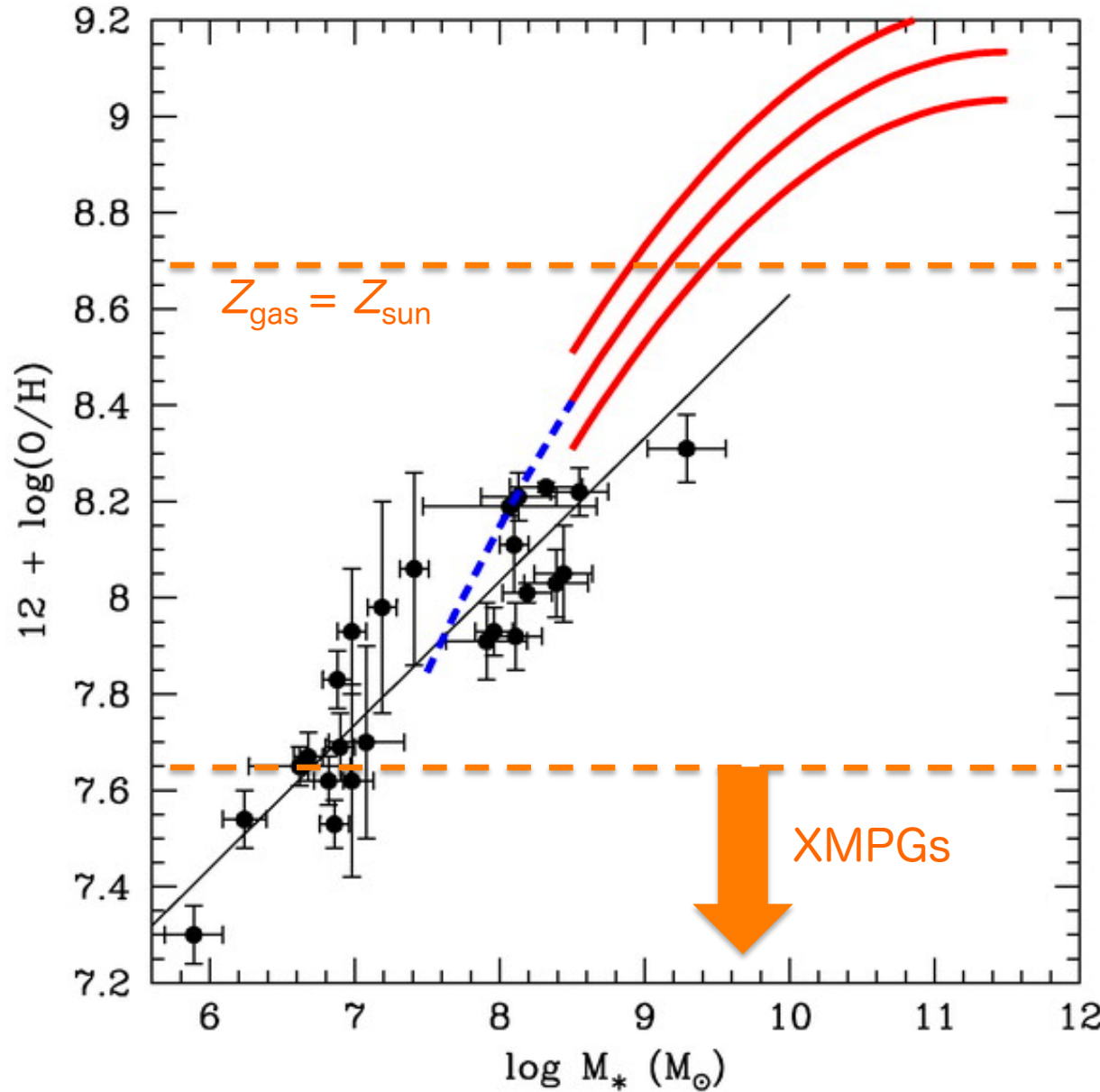
dwarf irregular galaxies
(dIrr) の特に低金属量のもの。
a few 10^2 程度の存在が
見つかっている。遠方宇宙でも
 $z \sim 1$ までちらほら報告あり
(e.g., Kakazu+07, Ly, Nagao+14)

星質量も非常に軽い。

$$M_{\text{stellar}} \sim 10^{6-7} M_{\text{sun}}$$

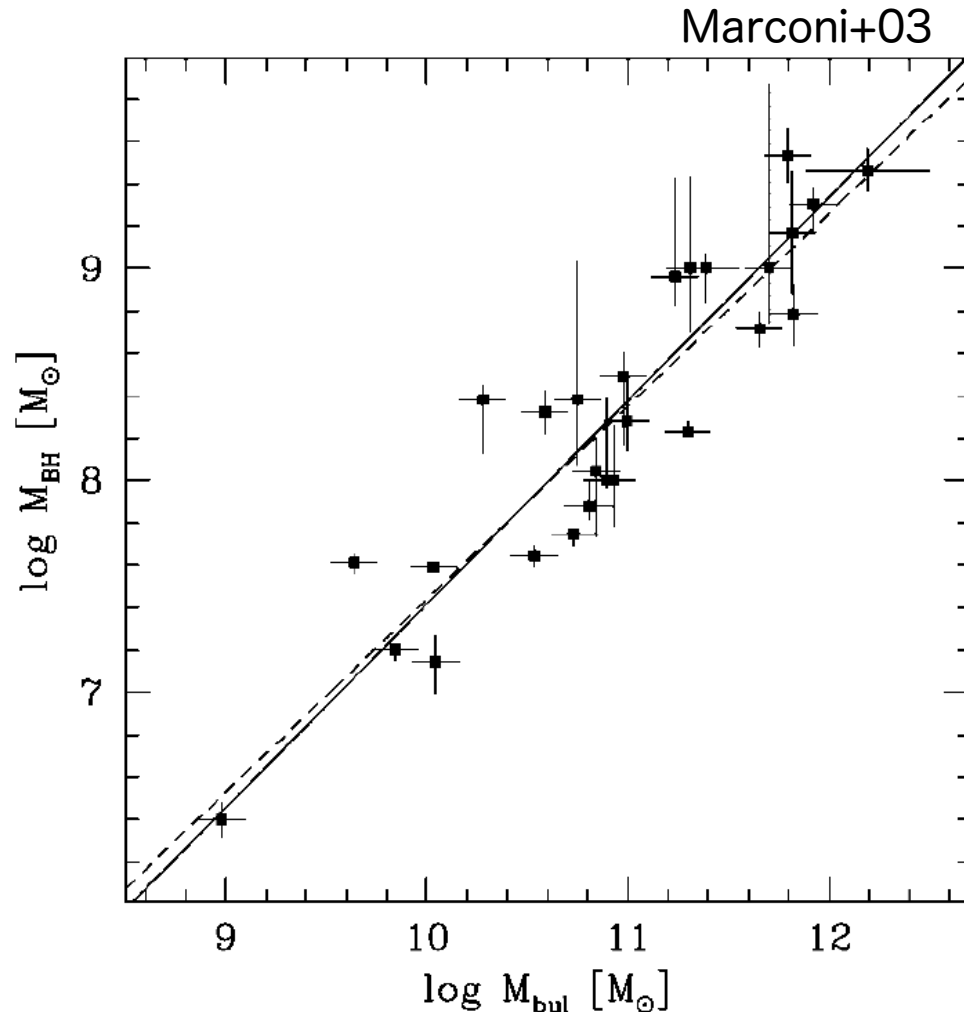
(e.g., Lee+06)

eXtremely Metal-Poor Galaxies (XMPGs)



Lee+06
Spitzer observations
for some dIrr galaxies

AGN host galaxies



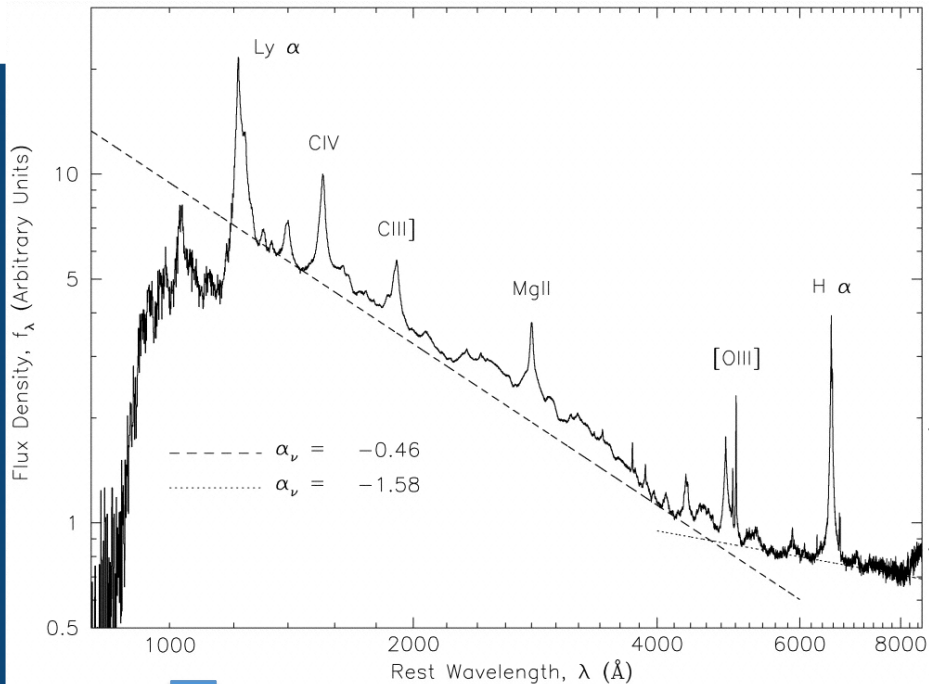
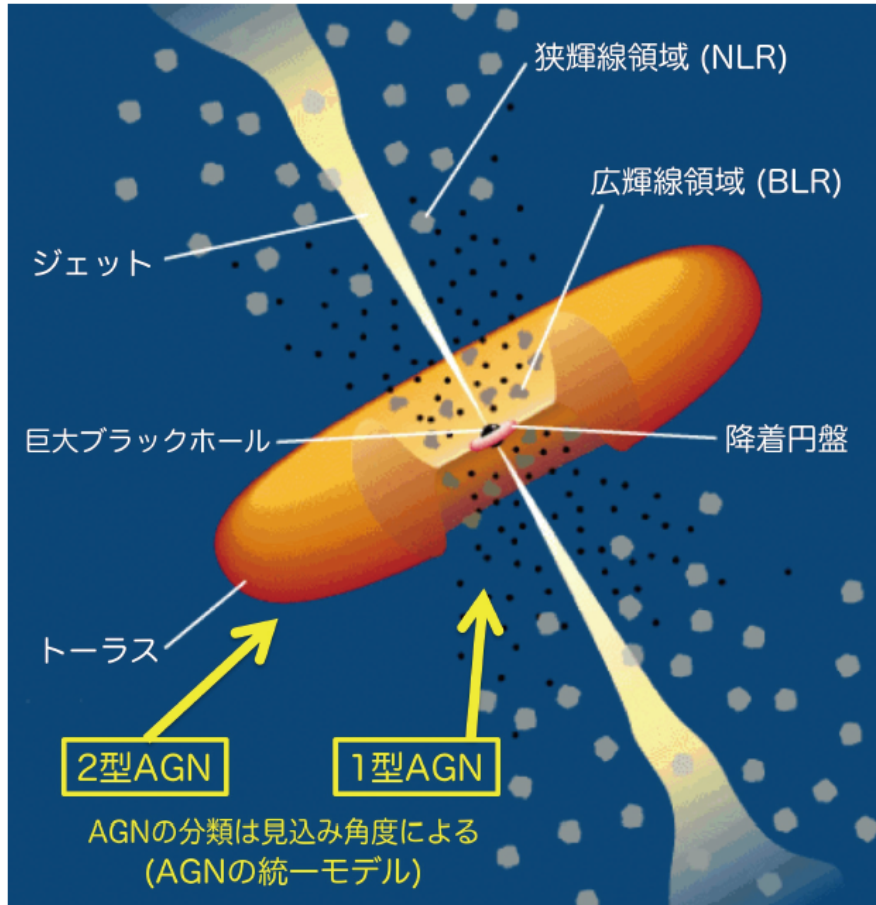
AGNのSMBH質量と母銀河
(のバルジ成分)の質量は正の
相関 → “共進化”を示唆

$$M_{\text{BH}}/M_{\text{bulge}} \sim 0.2\%$$

多くの場合 $M_{\text{BH}} > 10^7 M_{\text{sun}}$
 $\rightarrow M_{\text{bulge}} > 10^{10} M_{\text{sun}}$

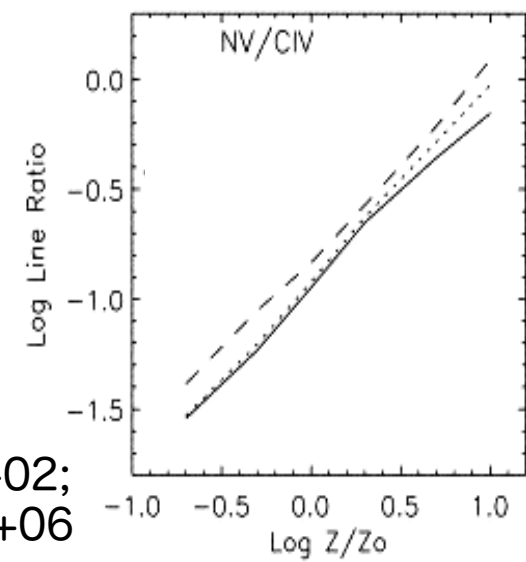
AGN母銀河は、結構立派。

AGN metallicity?

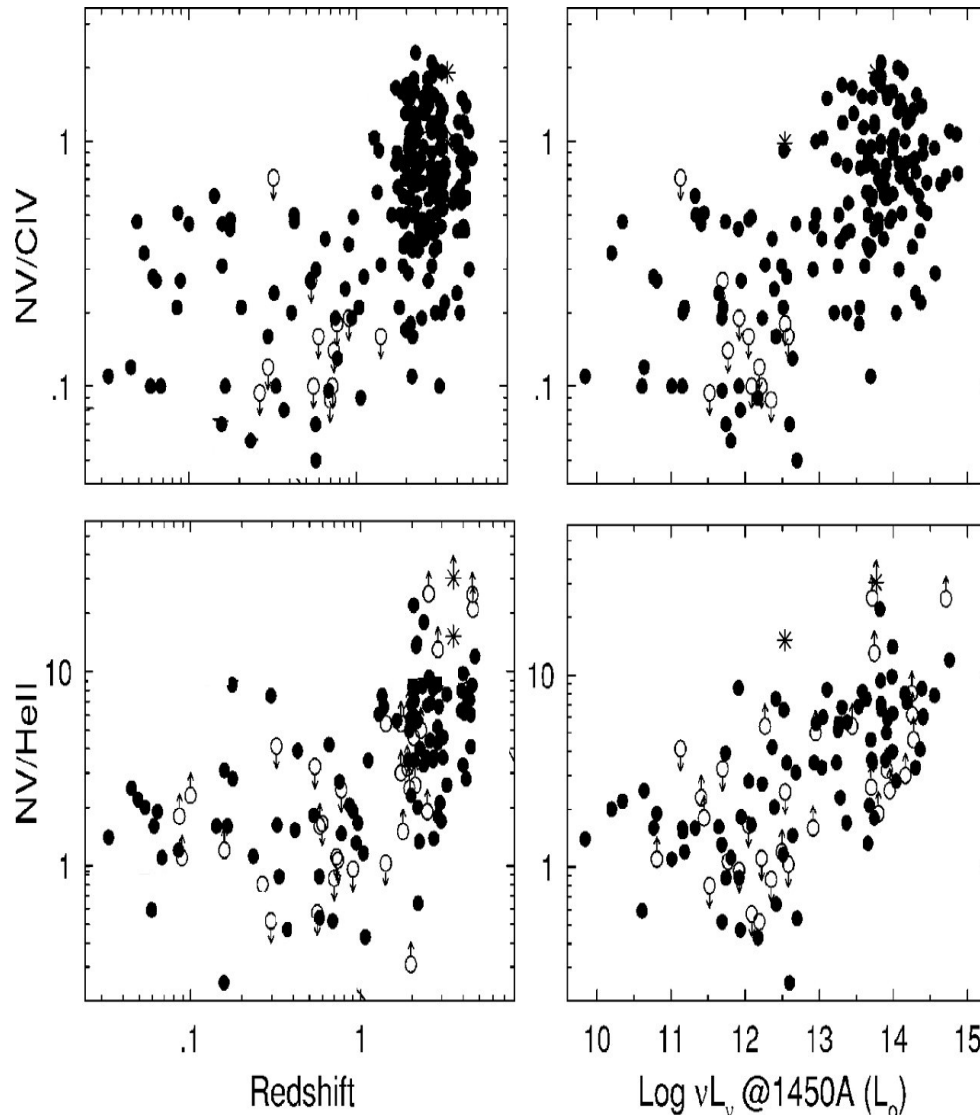


光電離モデル
for
BLR clouds

Hamann+02;
see also Nagao+06



BLR metallicity



$\leftarrow 10 Z_{\text{sun}} (!?)$

$\leftarrow 1 Z_{\text{sun}}$

- BLRの金属量は太陽金属量より高く、 Z_{sun} の10倍にも達する
- 高赤方偏移のAGNほど高い BLR metallicity を示す
- 高光度AGNほど高いBLR metallicity を示す
- ただし、高赤方偏移ほど選択的に明るいものばかり観測をしている、というバイアスがあるので、赤方偏移と光度のどちらが重要なのか不明瞭

BLR metallicity: SDSS view

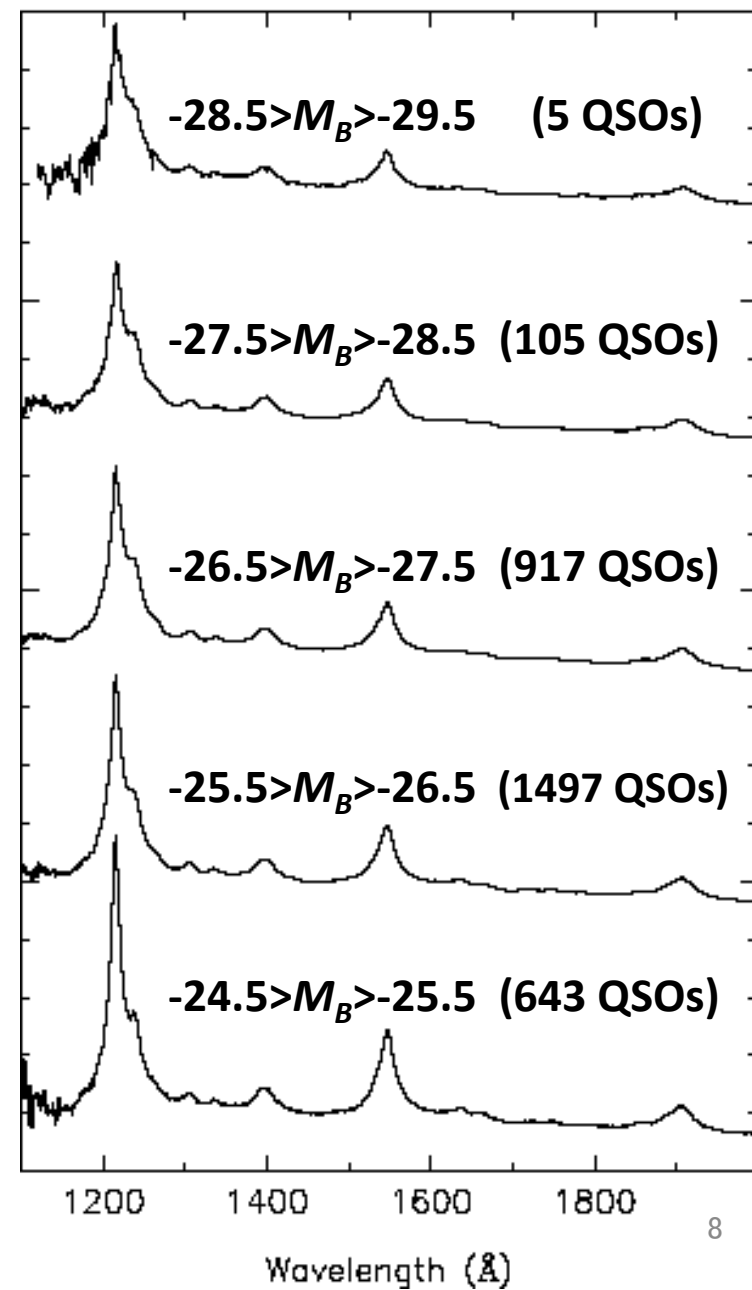
SDSS DR2 QSO at $2.0 < z < 4.5$
 → 5344 objects

	$2.0 \leq z < 2.5$	$2.5 \leq z < 3.0$
$-24.5 > M_B \geq -25.5$	643	50
$-25.5 > M_B \geq -26.5$	1497	284
$-26.5 > M_B \geq -27.5$	917	385
$-27.5 > M_B \geq -28.5$	105	71
$-28.5 > M_B > -29.5$	5	11

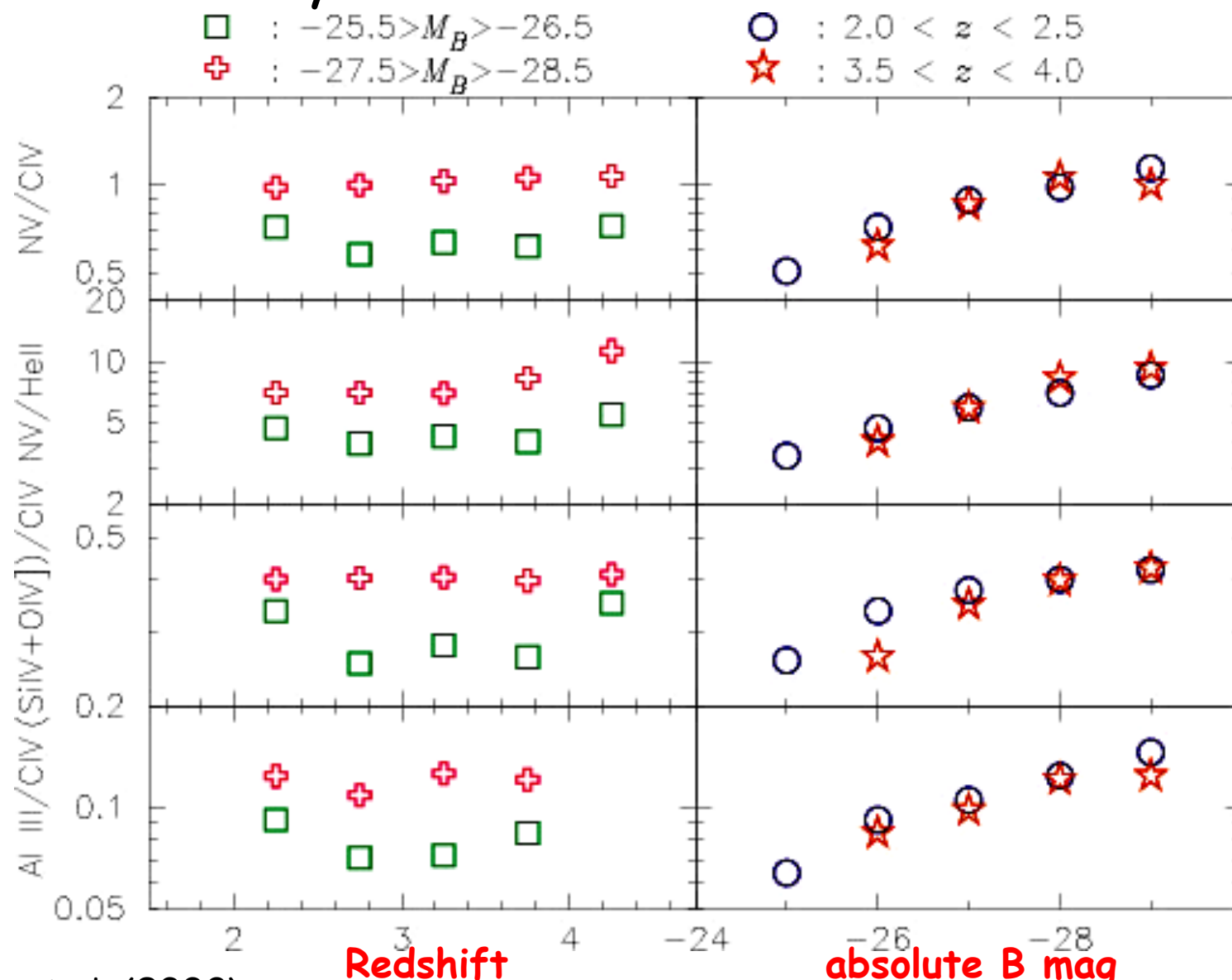
$3.0 \leq z < 3.5$	$3.5 \leq z < 4.0$	$4.0 \leq z < 4.5$	Total
1	0	0	694
332	153	25	2291
323	222	120	1967
76	53	45	350
16	5	3	40

example:
Composites at $2.0 < z < 2.5$

Nagao, Marconi, and Maiolino (2006)

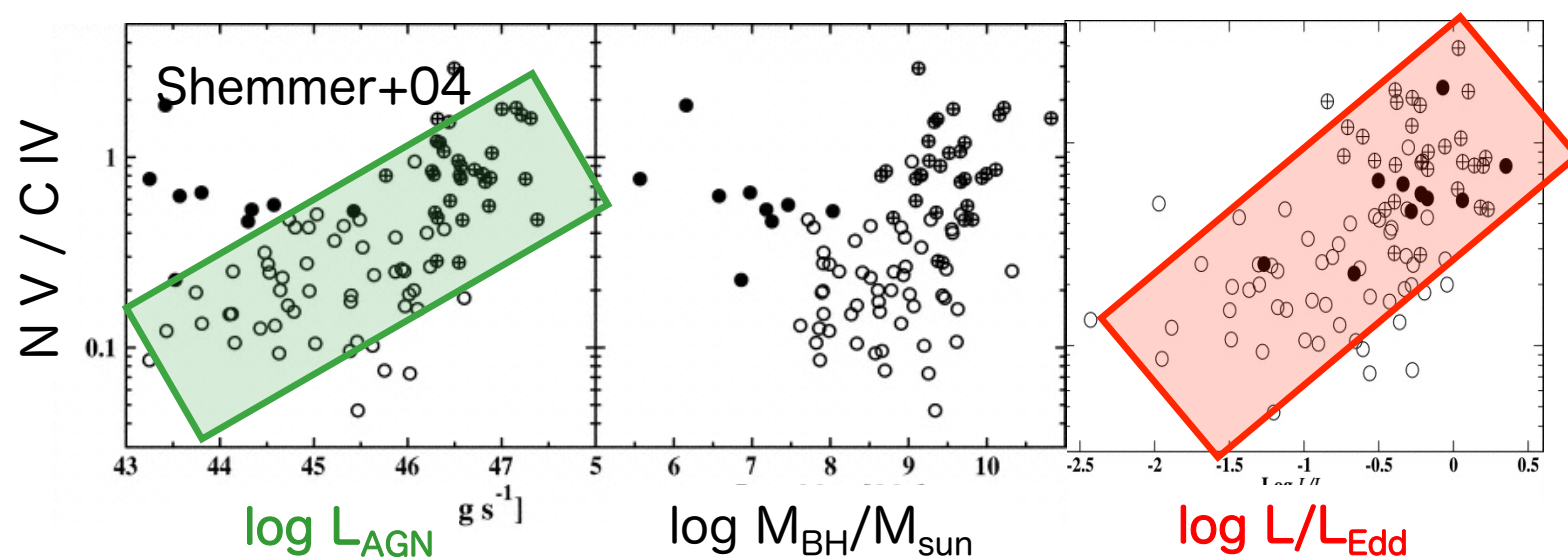
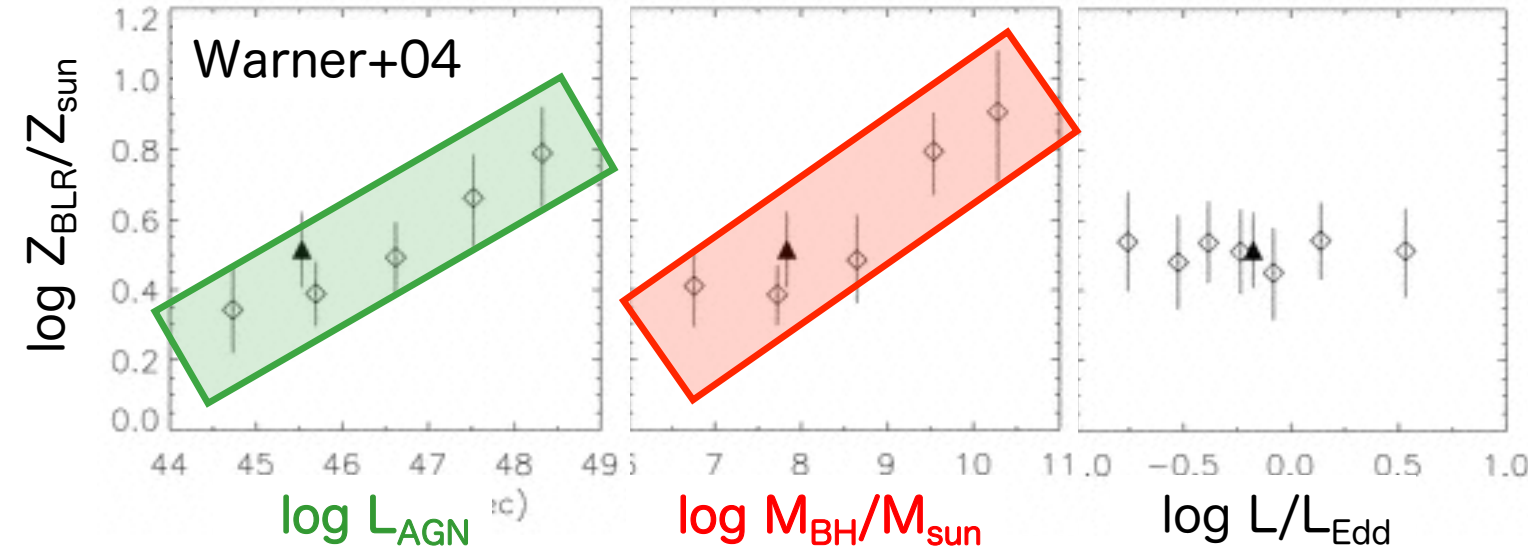


BLR metallicity: SDSS view



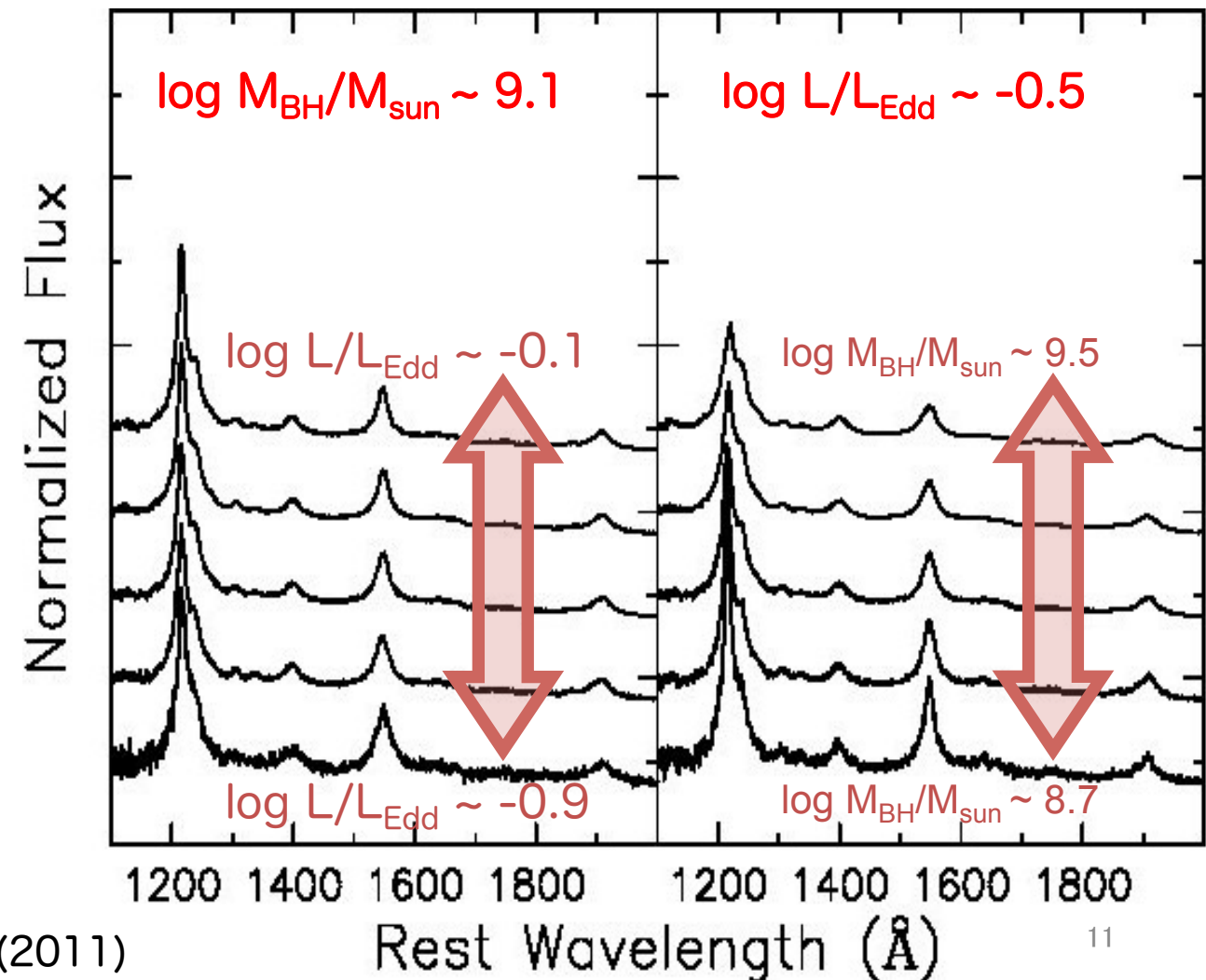
BLR metallicity: Origin of the $L_{\text{AGN}} - Z_{\text{BLR}}$ relation

$$L_{\text{AGN}} = L_{\text{AGN}}(M_{\text{BH}}, L/L_{\text{Edd}})$$



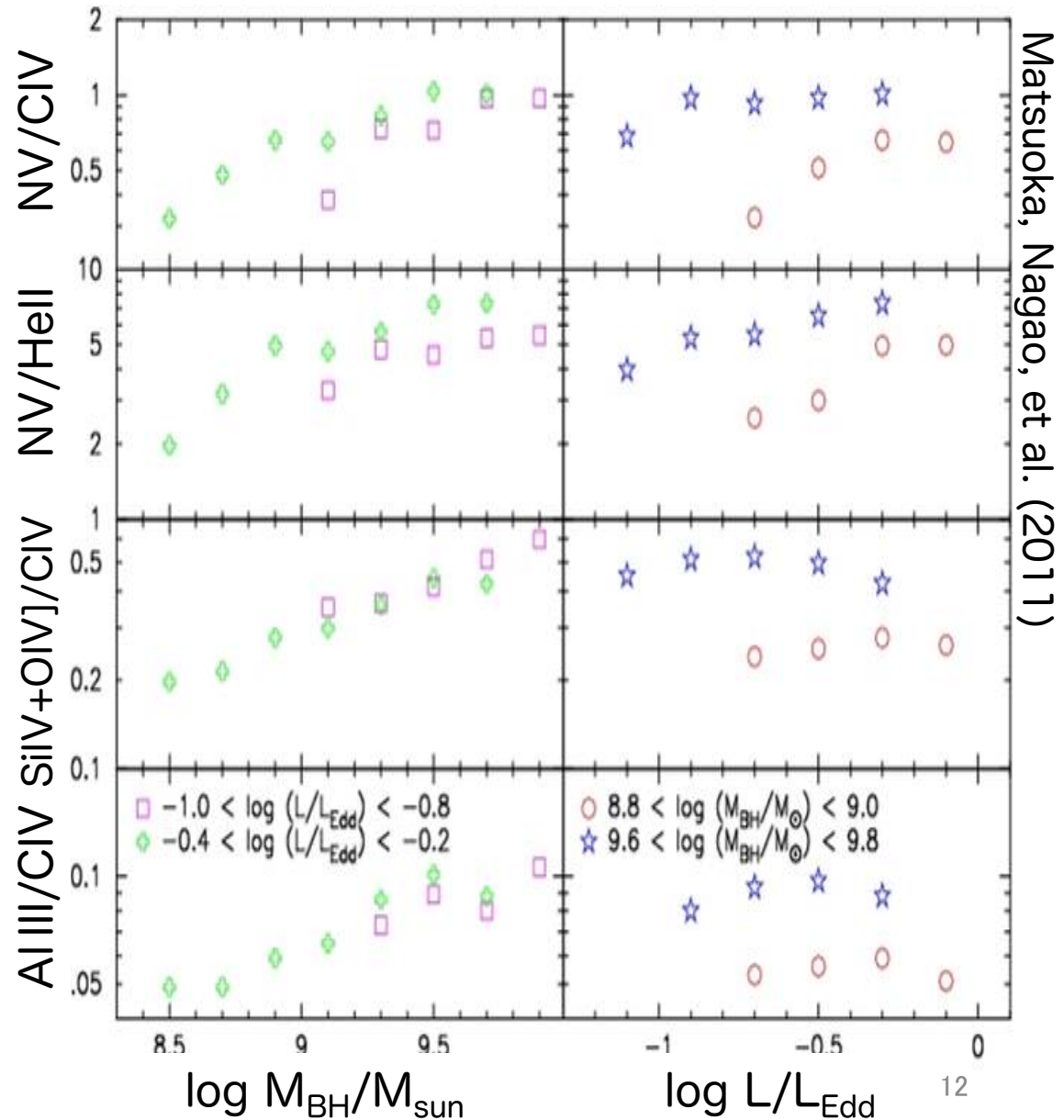
BLR metallicity: Origin of the $L_{\text{AGN}}\text{-}Z_{\text{BLR}}$ relation

- 2677 QSOs at $2.3 < z < 3.0$ from the SDSS DR7 quasar catalog
- Making “composite” spectra for each $(M_{\text{BH}}, L/L_{\text{Edd}})$ bin

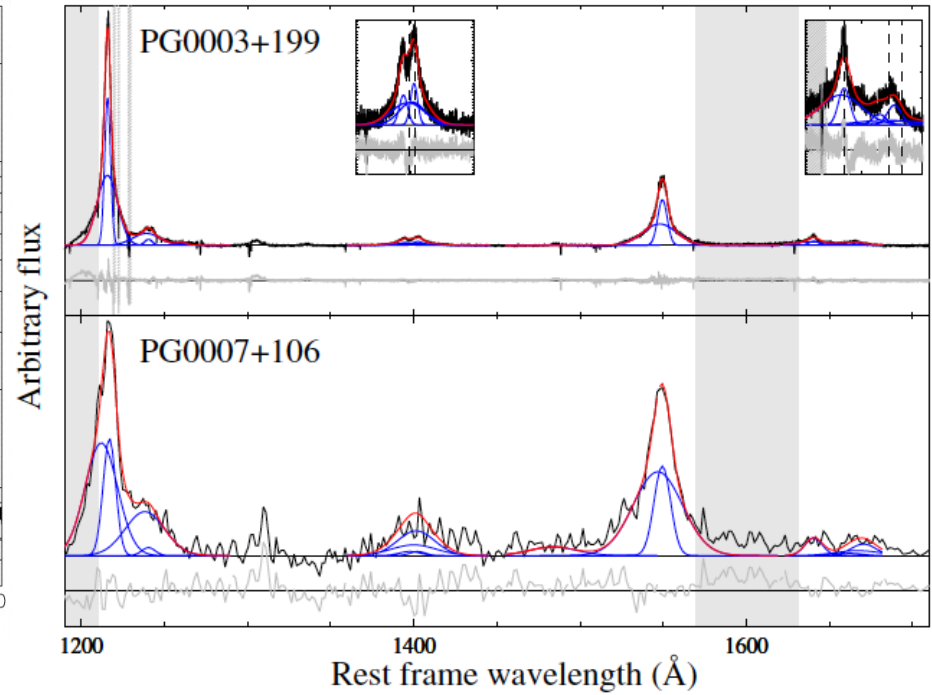
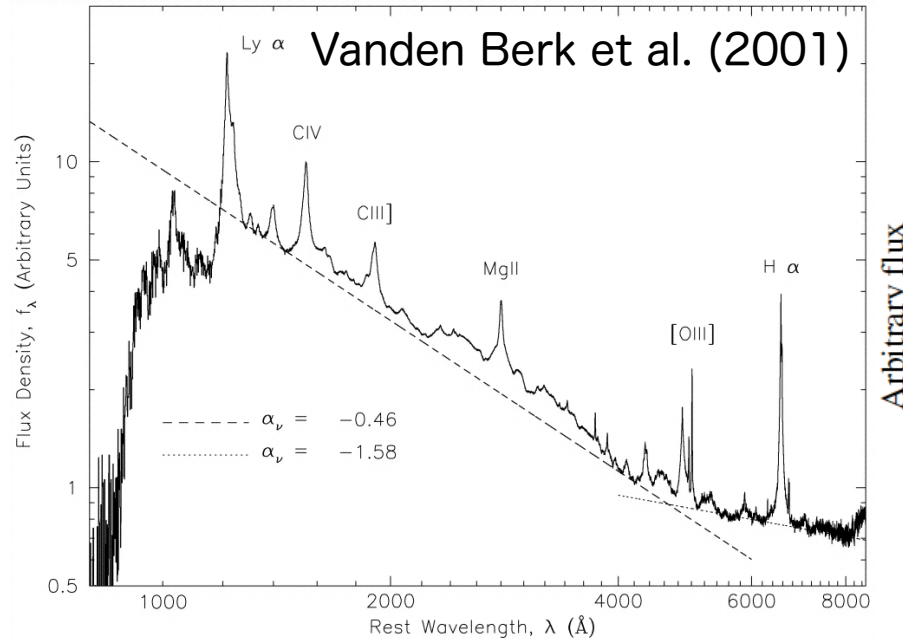


BLR metallicity: Origin of the $L_{\text{AGN}}-Z_{\text{BLR}}$ relation

- Positive correlation between Z_{BLR} & M_{BH}
- Only weak correlation between Z_{BLR} & L/L_{Edd}
- The L-Z relation is caused by the relation between the BH mass and Metallicity
- Suggesting a strong connection with the galaxy mass-metallicity relation



BLR metallicity: at lower redshifts?

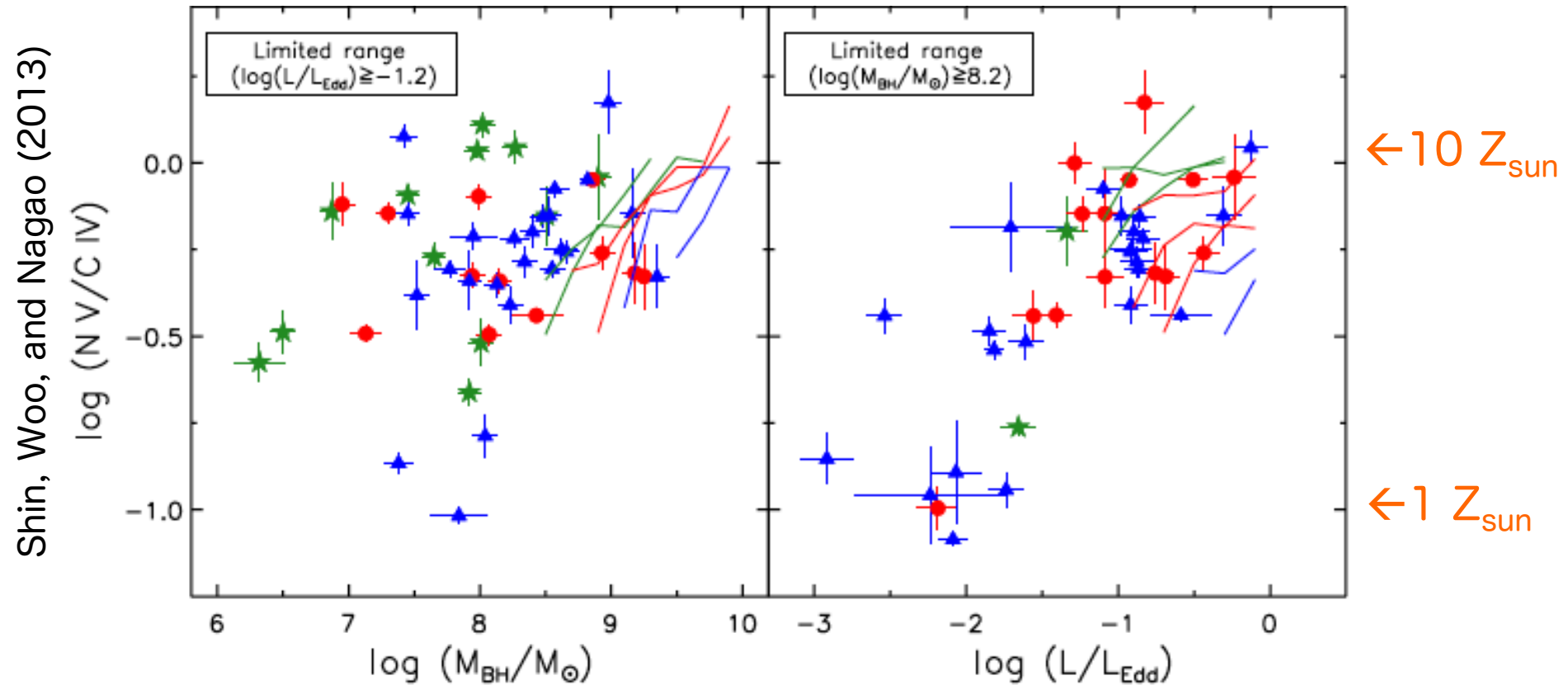


Shin, Woo, and Nagao (2013)

BLRからの輝線のほとんどは静止系紫外線で放射されるので low-z AGN で BLR 金属量を診断することは一般に困難 (地上観測が無理なので)。

HST, IUE などでUV分光した近傍AGN (PG QSOなど) の UV spectraをアーカイブで収集 (HST 40天体、IUE 30天体)
→ BLR 金属量を解析

BLR metallicity: at lower redshifts?



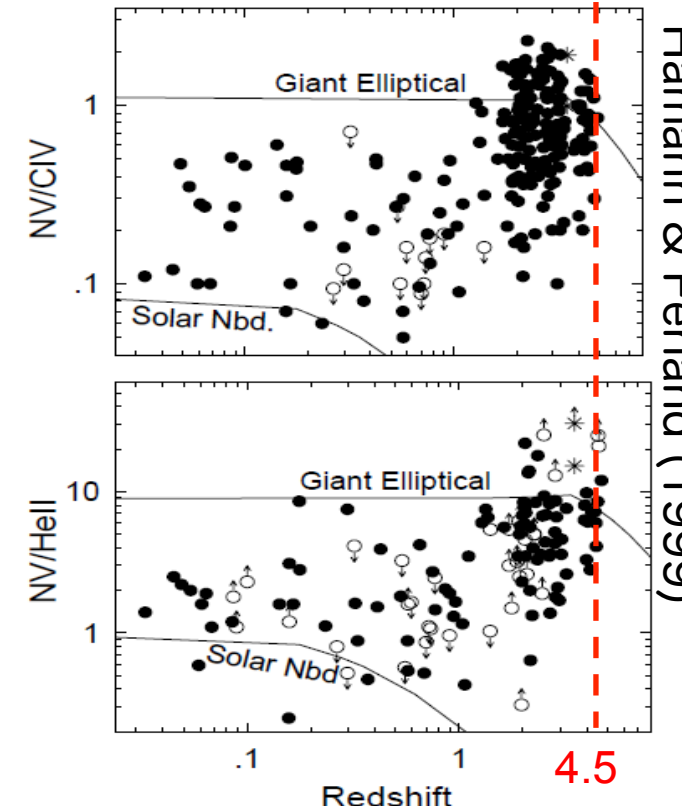
天体数が少なく stacking analysis ができないため、天体の個性が支配的で傾向など分かりにくい。が、low z では high z と違い M_{BH} ではなく L/L_{Edd} が BLR 金属量を決めている？
いずれにせよ low z でも $Z_{\text{BLR}} > Z_{\text{sun}}$ 、場合により $\sim 10 Z_{\text{sun}}$ に至る。

BLR metallicity: at higher redshifts?

- Requiring NIR coverage (but feasible)
- Requiring good targets at $z > 5$
(now we have many, thanks to SDSS)
- A metallicity decrease is predicted...

Table 1. (SiIV+OIV)/CIV measurements.

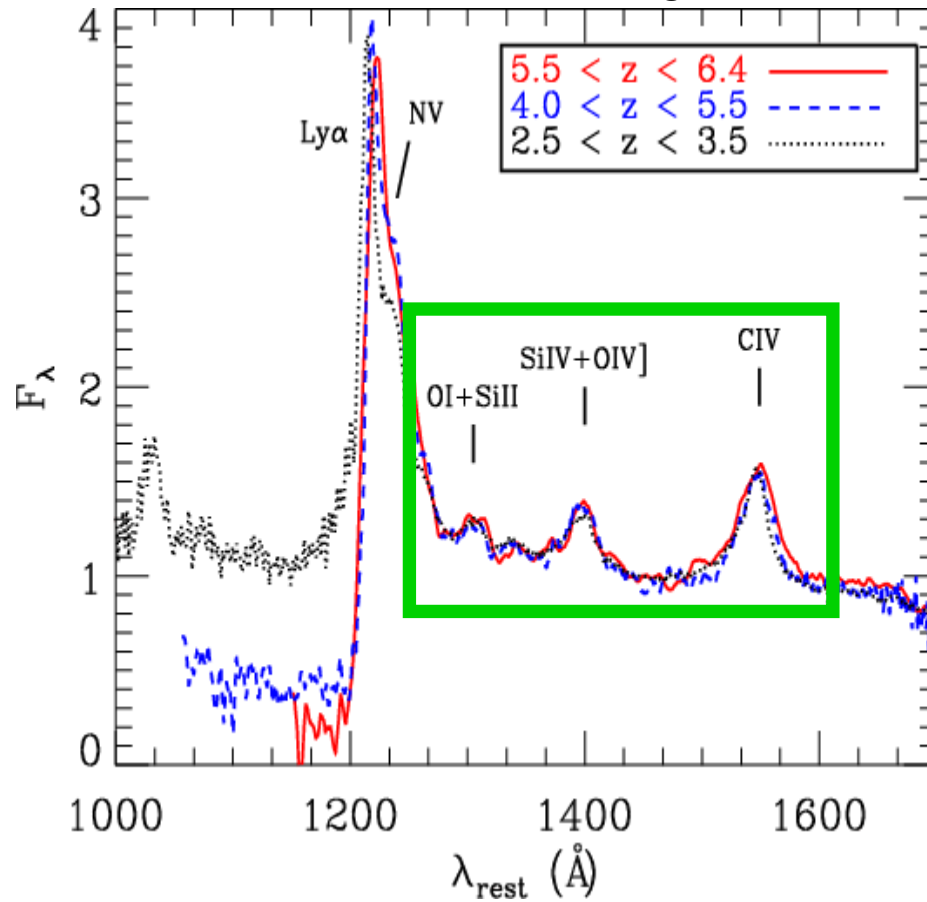
Name	z	$(\text{SiIV} + \text{OIV})/\text{CIV}$	$\log \lambda L_{\lambda}^a$
SDSS J000239.4+255035	5.80	0.61 ± 0.12	46.93
SDSS J000552.3-000656	5.85	0.34 ± 0.06	46.20
SDSS J001714.66-100055.4 ^b	5.01	0.58 ± 0.07	46.56
SDSS J012004.82+141108.2 ^b	4.73	0.32 ± 0.03	46.09
SDSS J015642.11+141944.3 ^b	4.32	0.16 ± 0.03	46.62
SDSS J023137.6-072855	5.41	0.29 ± 0.07	46.56
SDSS J023923.47-081005.1 ^b	4.02	0.23 ± 0.04	46.58
SDSS J033829.3+002156	5.00	0.97 ± 0.29	46.46
SDSS J075618.1+410408	5.07	0.80 ± 0.15	46.53
SDSS J083643.8+005453	5.80	0.63 ± 0.16	46.97
SDSS J085210.89+535948.9 ^b	4.22	0.42 ± 0.04	46.53
SDSS J095707.67+061059.5	5.16	0.70 ± 0.14	46.65
SDSSp J102119.16-030937.2	4.70	0.35 ± 0.12	46.58
SDSS J103027.1+052455	6.28	0.59 ± 0.20	46.68
SDSS J104433.04-012502.2 ^b	5.78	0.40 ± 0.13	46.88
SDSS J104845.05+463718.3 ^b	6.20	0.42 ± 0.20	46.81
SDSS J114816.6+525150	6.40	0.41 ± 0.08	46.95
SDSS J120441.7-002150	5.05	0.57 ± 0.12	46.63
SDSSp J120823.8+001028	5.27	0.63 ± 0.21	46.07
SDSS J130608.2+035626	5.99	0.38 ± 0.19	47.32
SDSS J141111.3+121737	5.93	0.57 ± 0.13	46.58
SDSS J160254.2+422823	6.07	0.53 ± 0.17	46.90
SDSS J160320.89+072104.5	4.39	0.39 ± 0.08	46.85
SDSS J160501.21-011220.6 ^b	4.92	0.37 ± 0.15	46.46
SDSS J161425.13+464028.9	5.31	0.34 ± 0.03	46.62
SDSS J162331.8+311201	6.22	0.54 ± 0.12	46.54
SDSS J162626.50+275132.4	5.20	0.30 ± 0.09	46.94
SDSS J163033.9+401210	6.06	0.23 ± 0.11	46.38
SDSS J220008.7+001744	4.77	0.55 ± 0.07	46.58
SDSS J221644.0+001348	4.99	0.29 ± 0.06	46.18



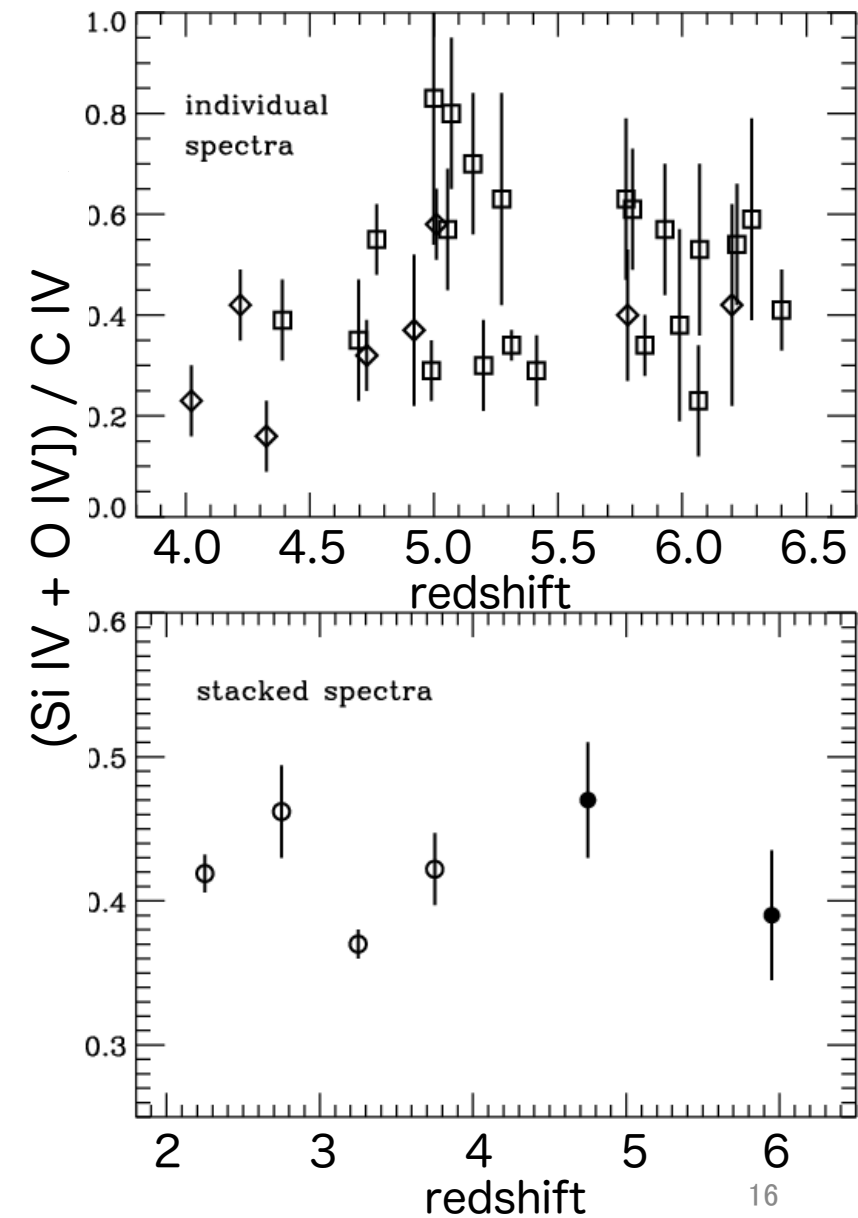
- Observations
@ VLT/FORS & TNG/NICS
- Targets
30 SDSS QSOs at $4.0 < z < 6.4$
(Juarez, Maiolino, Nagao, et al. 09)

BLR metallicity: at higher redshifts?

Juarez, Maiolino, Nagao, et al. 09

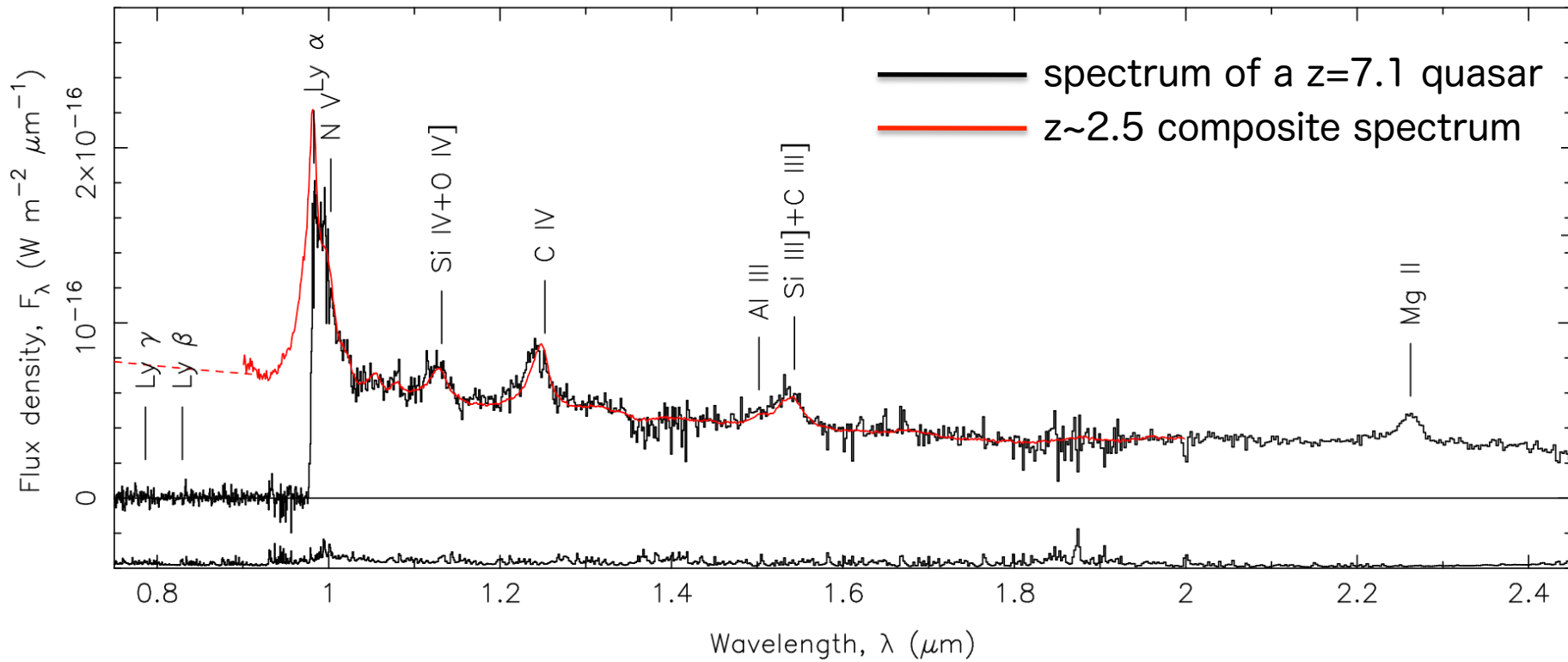


No metallicity decrease
even up to $z=6.4 \cdots ??$



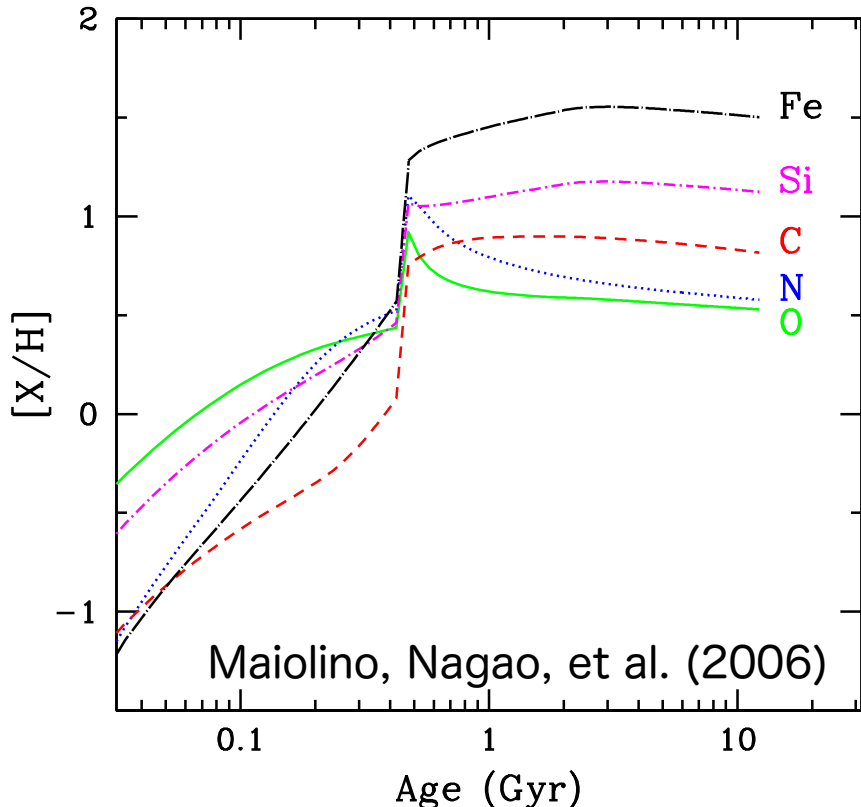
BLR metallicity: at much higher redshifts?

Mortlock et al. (2011)



最近の広域近赤外サーベイで見つかってきた $z\sim 7$ クエーサーのスペクトルを見ても、輝線スペクトルの様子は lower redshifts のものと大差ない (see also Venemans+13)。SMBH質量もかなり大きい: $M_{\text{BH}} \sim 2 \times 10^9 M_{\text{sun}}$

BLR metallicity: possible concerns

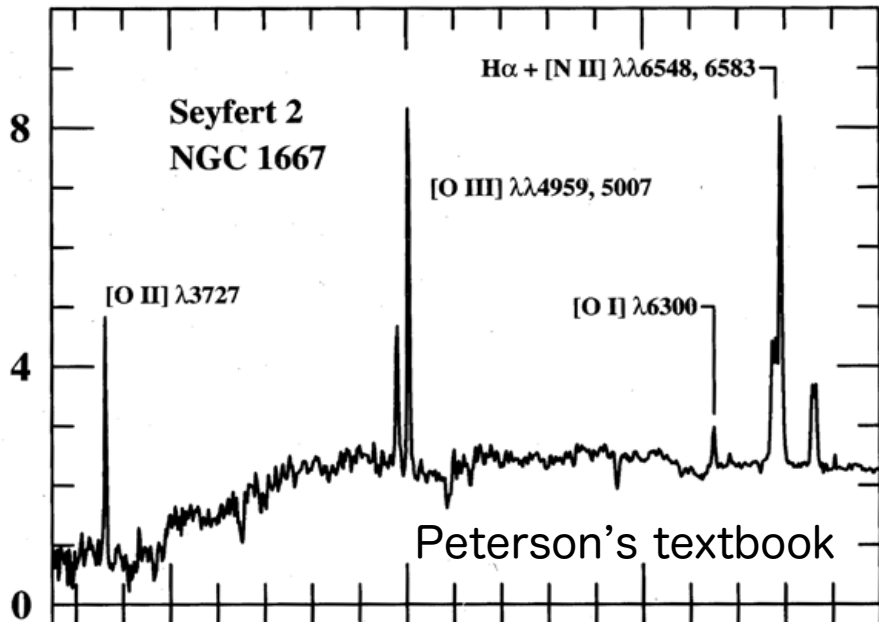


大質量銀河の化学進化を考えると、 $Z > Z_{\text{sun}}$ を実現させるには 1 Gyr 弱の時間が必要。 $z \sim 7$ (宇宙年齢 0.77 Gyr) で $Z > Z_{\text{sun}}$ を実現させるのは相当大変。

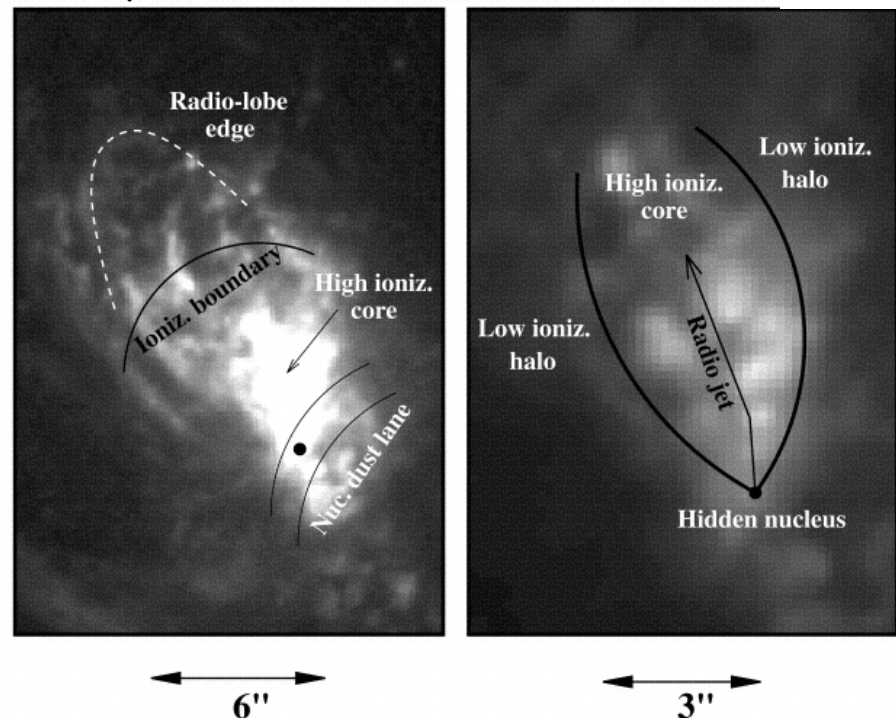
$$\begin{aligned}
 M_{\text{BLR}} &= \frac{4\pi}{3} l^3 N_{\text{C}} n_e m_p \\
 &= \frac{4\pi}{3} \varepsilon r^3 n_e m_p \quad (\varepsilon: \text{BLR filling factor}) \\
 &\sim 10^{-3} L_{42}(\text{CIV}) M_{\text{sun}} \\
 &< 100 M_{\text{sun}} \quad \text{for luminous quasars}
 \end{aligned}$$

BLRガス雲の総量は、
質量としては非常に少ない。
少数の超新星爆発などの影響を
受けすぎていて、母銀河としての
化学進化を反映していないかも？

NLR metallicity



Capetti et al. (1997)



NLRは母銀河スケールに近い空間的広がりを持ち、
ガス総量としてはBLRより何桁も大きな成分なので、
母銀河の化学進化をトレースするにはBLRよりも
NLRの方がよい、かもしれない。
静止系可視なので観測しやすいのも利点。
ただしNLR金属量診断方法はあまり確立されていない。

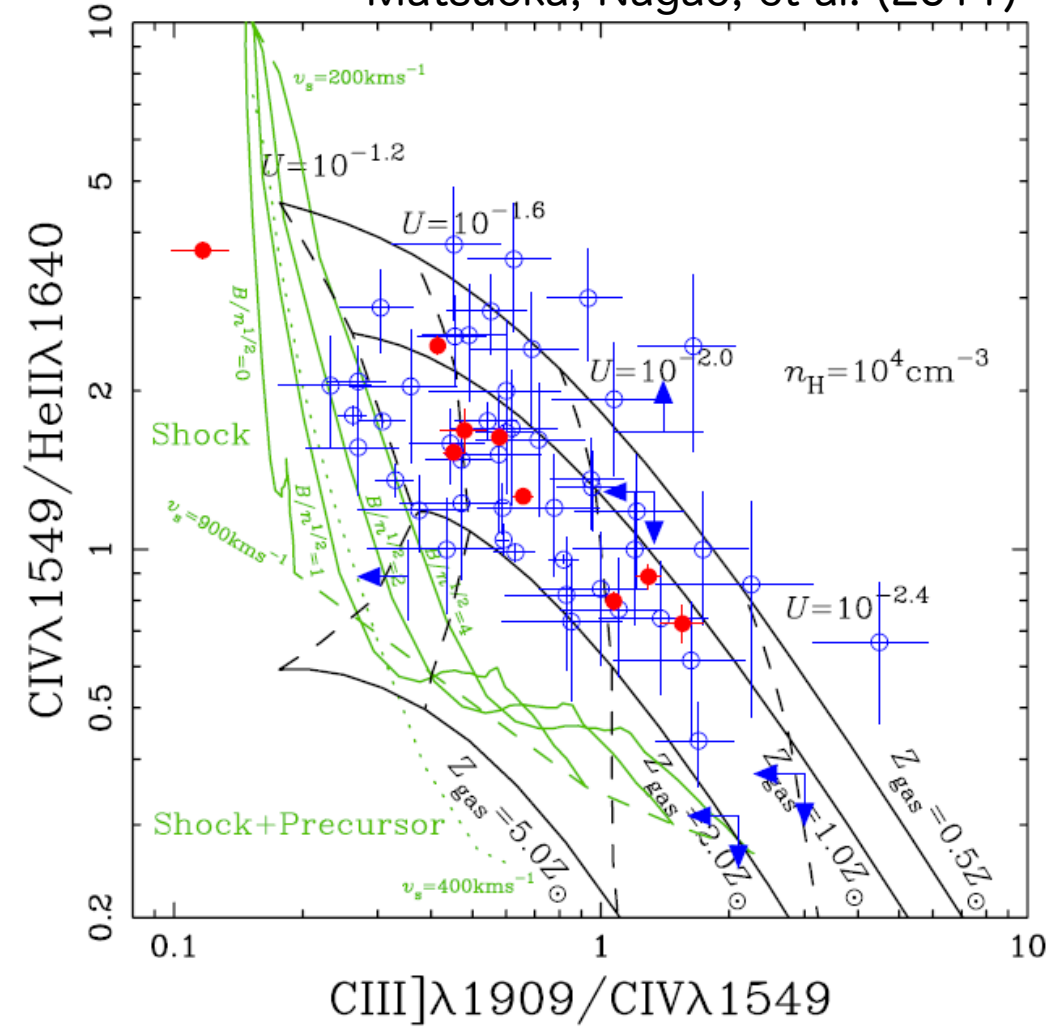
NLR metallicity: diagnostics

高赤方偏移でも観測されている
(type-2 の)電波銀河について
NLRの輝線強度比を調査し、
光電離モデル計算と比較。

左図では、金属量が高いほど
電離ガスの平衡温度が下がり
 C^{3+} の衝突励起頻度が低下して
 CIV emissivity が下がる事を
利用している。この時、 CIV
emissivity は U-parameter
にも依存することを横軸の
 $\text{CIII]}/\text{CIV}$ で補正している。

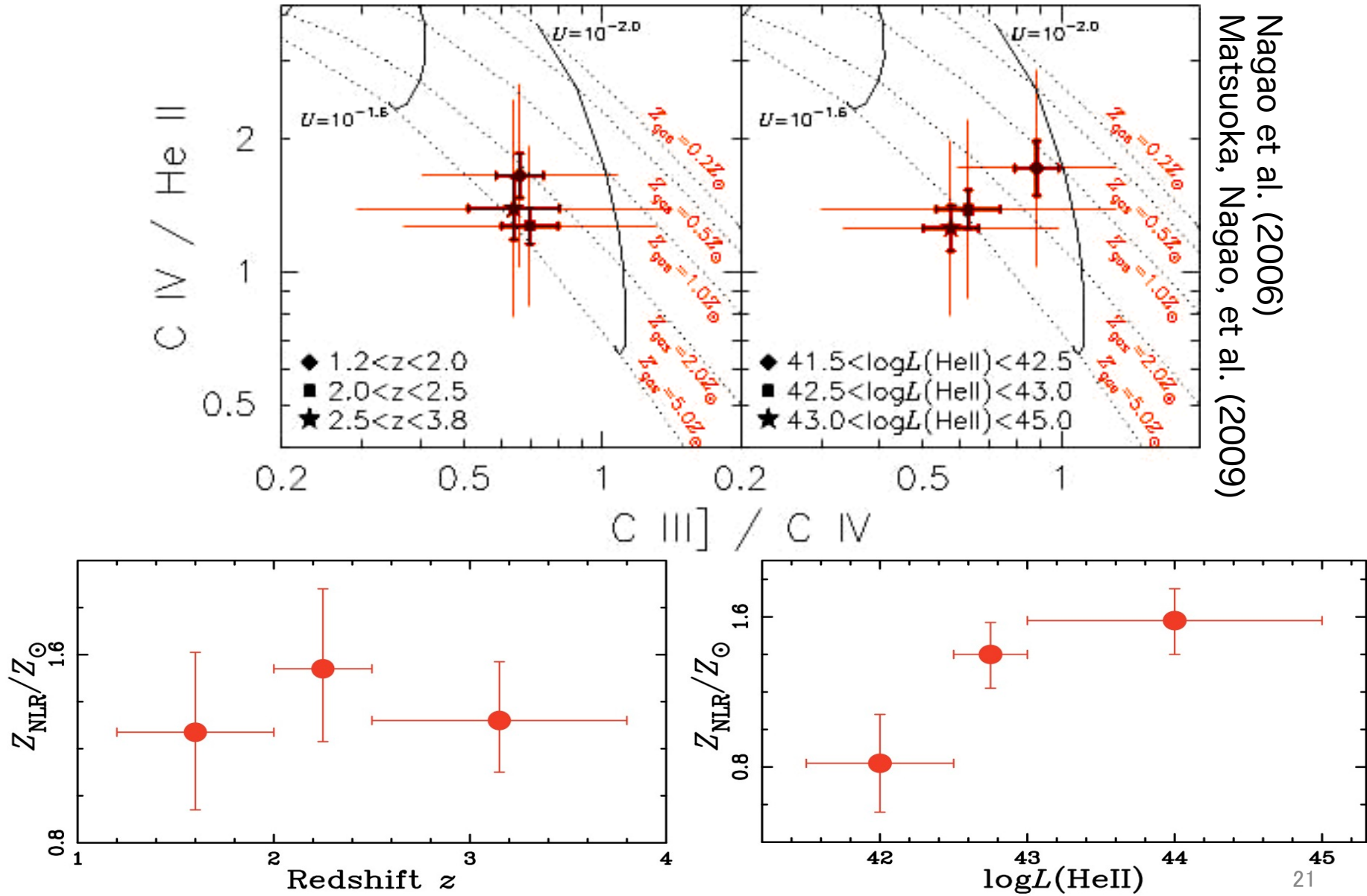
この計算ではダスト微粒子は
電離ガス雲内に存在しないと
仮定している。

Nagao et al. (2006)
Matsuoka, Nagao, et al. (2009)
Matsuoka, Nagao, et al. (2011)

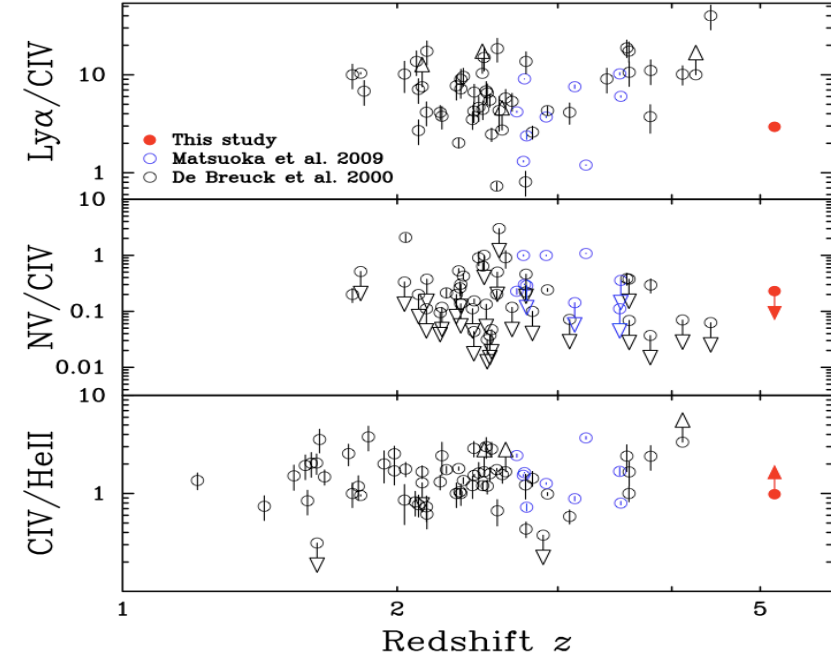
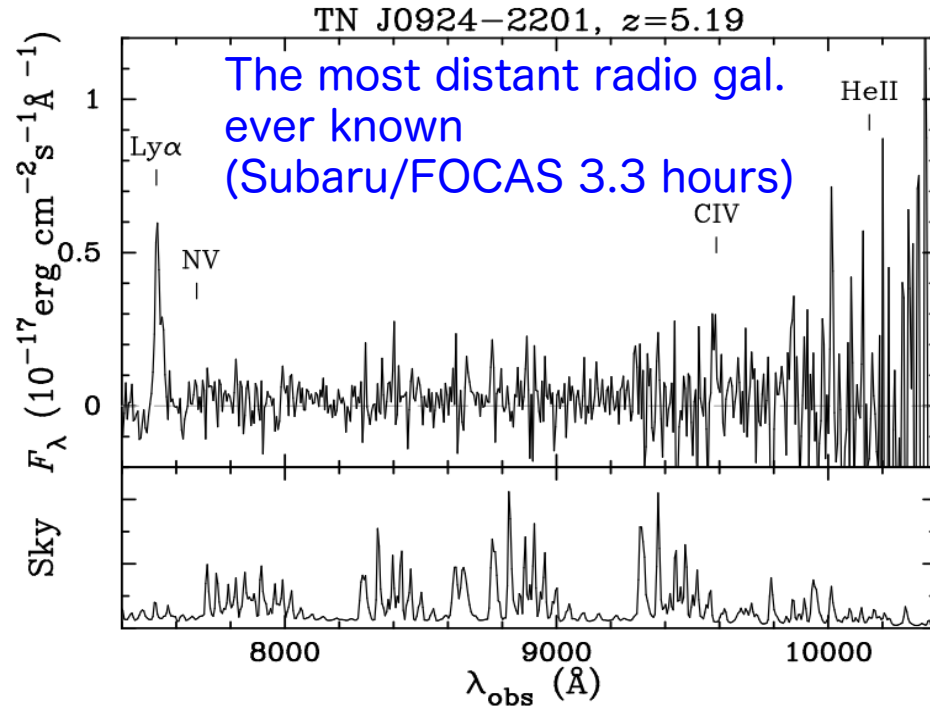


NLR metallicity: evolution

Nagao et al. (2006)
 Matsuoka, Nagao, et al. (2009)



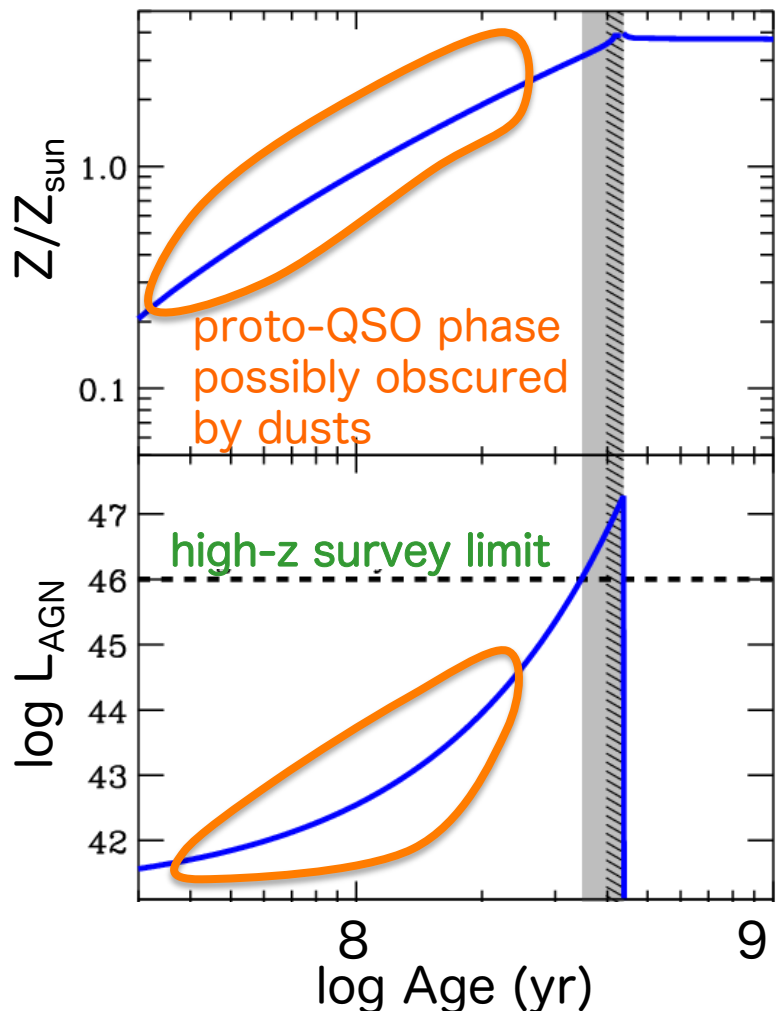
NLR metallicity: at higher-z



This highest-z radio galaxy had been already experienced a significant fraction of its chemical evolution (the C/O elemental ratio had reached at least ~30% of the solar value)

Matsuoka, Nagao, et al. (2011)

Why no evolution in Z_{AGN} , or why no low- Z_{AGN} objects



Kawakatu et al. 03,
 Granato et al. 04,
 Juarez, Maiolino, Nagao, et al. 09

Galaxy-BH co-evolution models

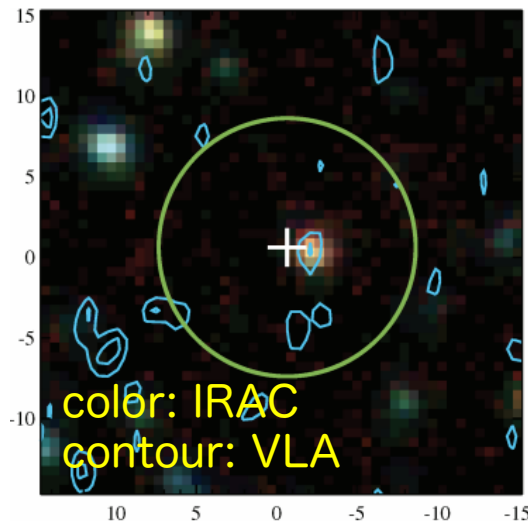
Assuming mass-accretion events triggered by nuclear star-formation

- We see only brightest QSOs at high- z
- Sampling only well-evolved objects
- No-evolution due to selection effects?? (and those young QSOs could be dusty)

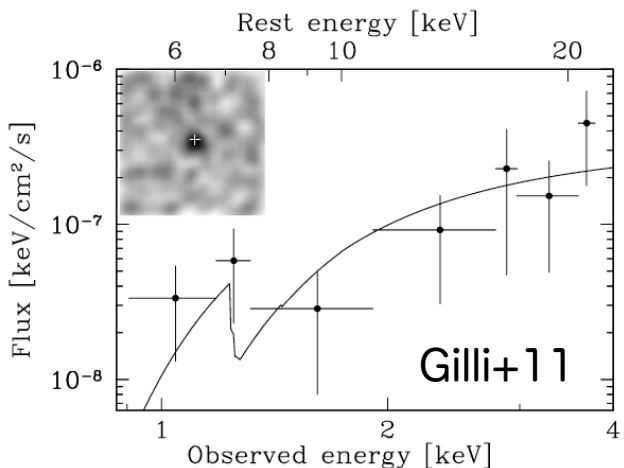
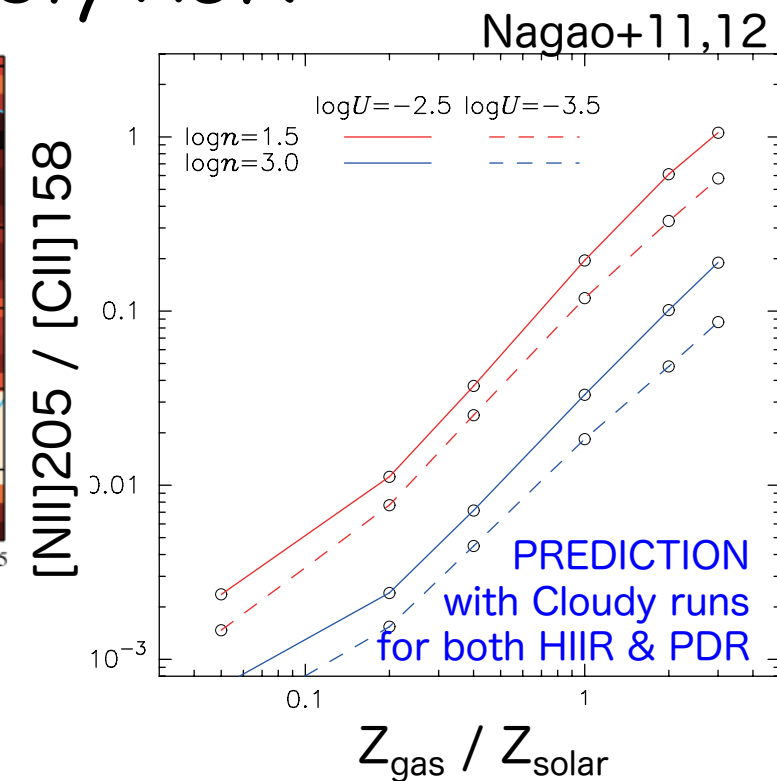
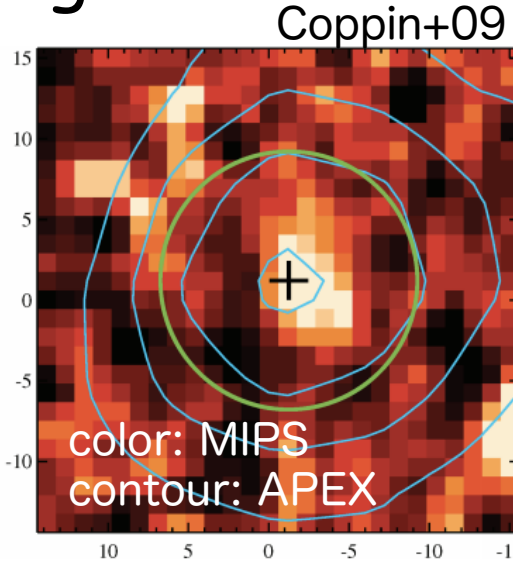
How about the metallicity
 in high- z low-luminosity
 dusty AGNs?



Metallicity in high- z low- L dusty AGN



A submillimeter galaxy (SMG)
LESS J033229.4-275619 at $z=4.76$
Dusty starburst ($\text{SFR} \sim 1000 \text{M}_{\text{sun}}/\text{yr}$)
with a Compton-thick AGN (Gilli+11)

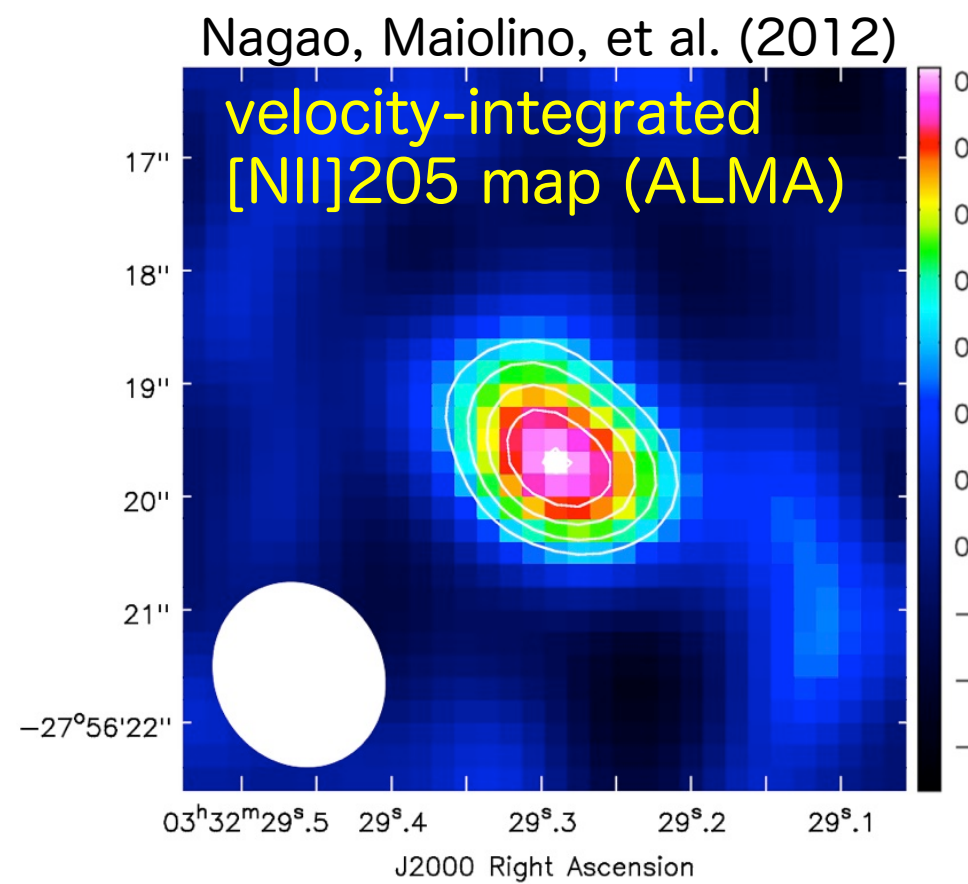


Optical diagnostics useless for dusty objects

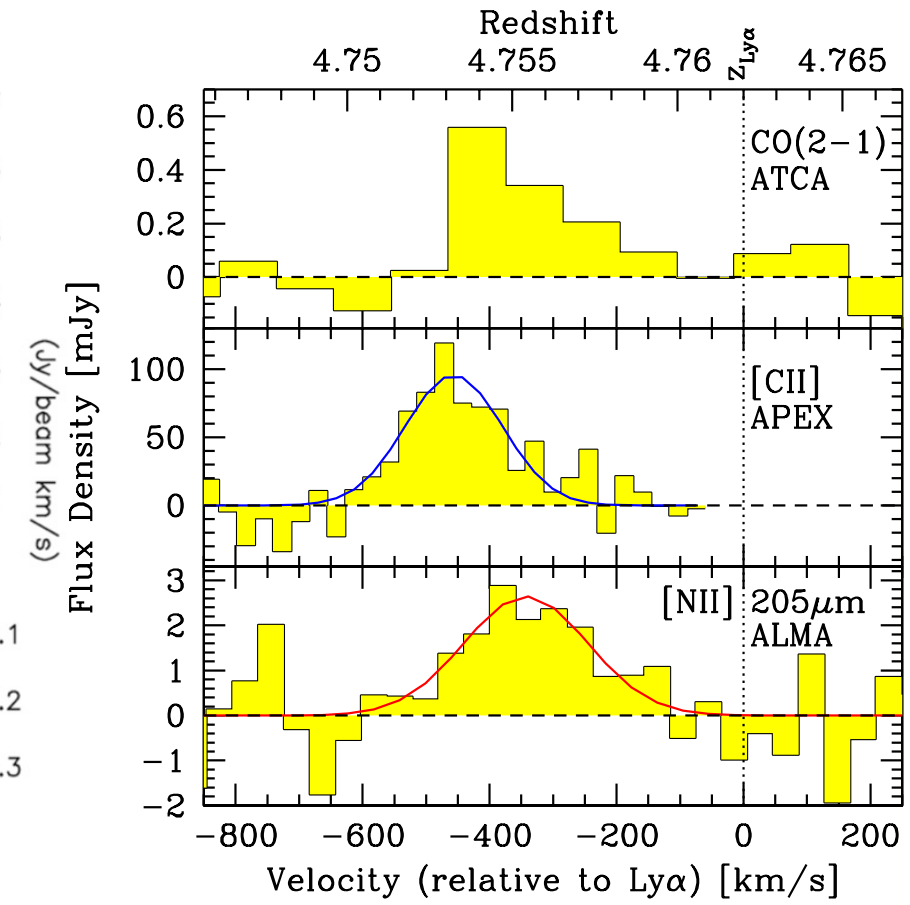
New metallicity diagnostics for dusty objects
that consist of FIR fine-structure lines

High- z \rightarrow redshifted to the ALMA frequency!
([CII] has been observed for this object with APEX)

The ALMA view



ALMA cycle 0 observation
band 6, compact configuration
3.6 hours with 18 antennas



[NII] clearly detected with S/N~8
while its flux is only ~5% of [CII]
(ALMA is really powerful!!)

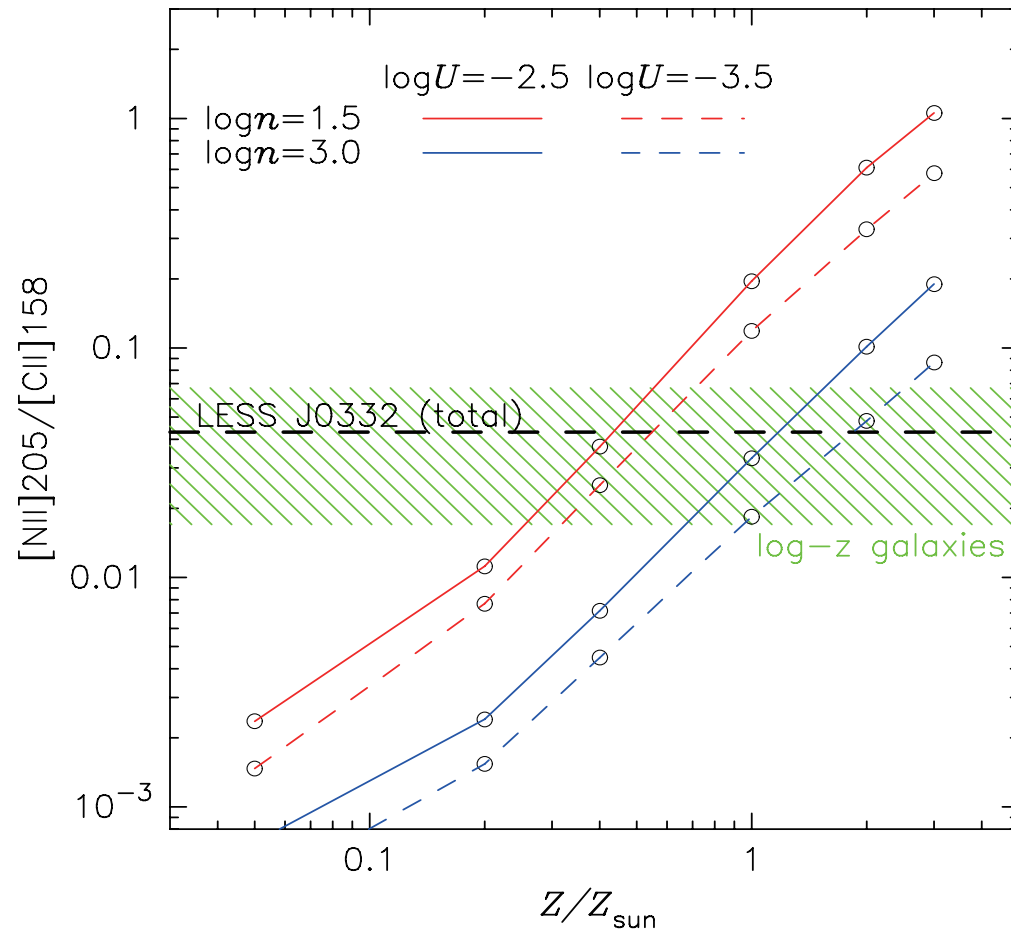
The ALMA view

The [NII]/[CII] ratio is comparable with that seen in low-z galaxies



This SMG has a substantially high metallicity ($\sim Z_{\text{sun}}$) even at $z \sim 4.76$

しかし冷静に考えてみると
(考えるまでもないかも?)
dusty とか言ってる時点では
そこそこ metal-rich なのは
予想されることではある。

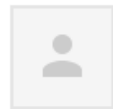


Nagao, Maiolino, et al. (2012)
(model details are given in Nagao+11)



An e-mail from Toma-san, revisited

招待講演のお願い



Kenji Toma <toma@astr.tohoku.ac.jp>

to Tohru ▾

Nov 3

長尾様、

東北大の當真です。

「初代星・初代銀河研究会」への参加ありがとうございます。

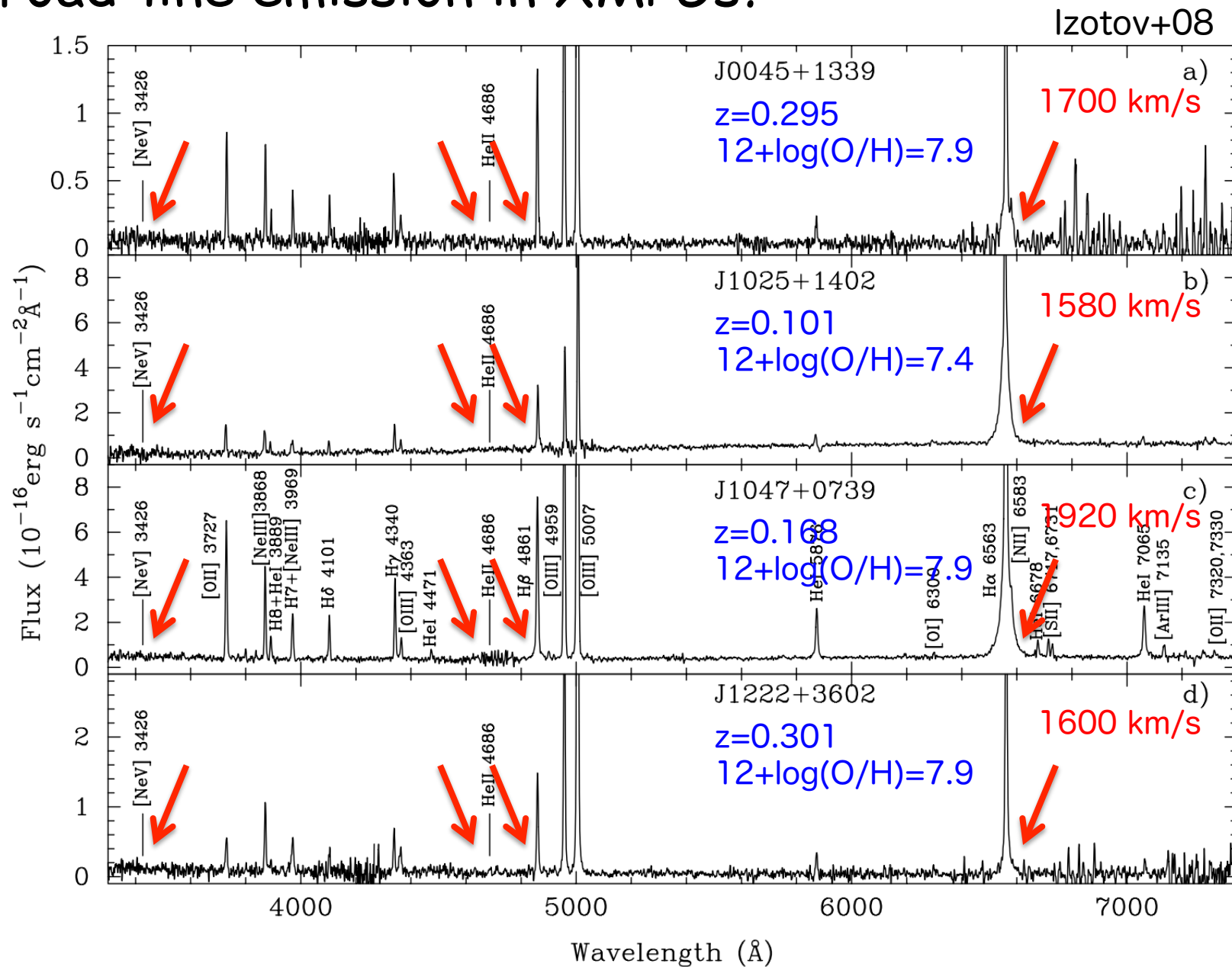
長尾さんには

超低金属量の銀河と活動銀河核形成

について招待講演をお願いしたいと考えております。

お引き受けいただけますでしょうか？

Broad-line emission in XMPGs?





Broad-line emission in XMPGs: what are they?

WR? Winds from luminous blue variable?
SN-related something (e.g., bubbles)?

expected $L(\text{H}\alpha_{\text{broad}}) \sim 10^{36-40} \text{ cgs}$, but
observed $L(\text{H}\alpha_{\text{broad}}) \sim 10^{41.5-42} \text{ cgs} \rightarrow$ たぶん違う

shocks propagating in the circumstellar envelopes of
Type IIn SNe?

constant $L(\text{H}\alpha_{\text{broad}})$ for 3-7 years \rightarrow なので違う

BLR emission from AGN (消去法だがもっともらしそう)

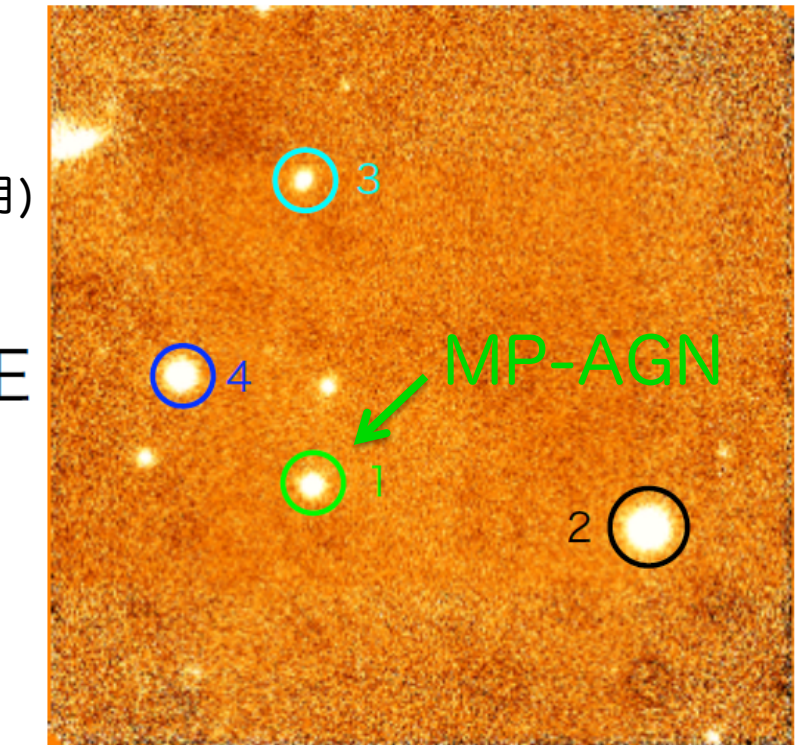
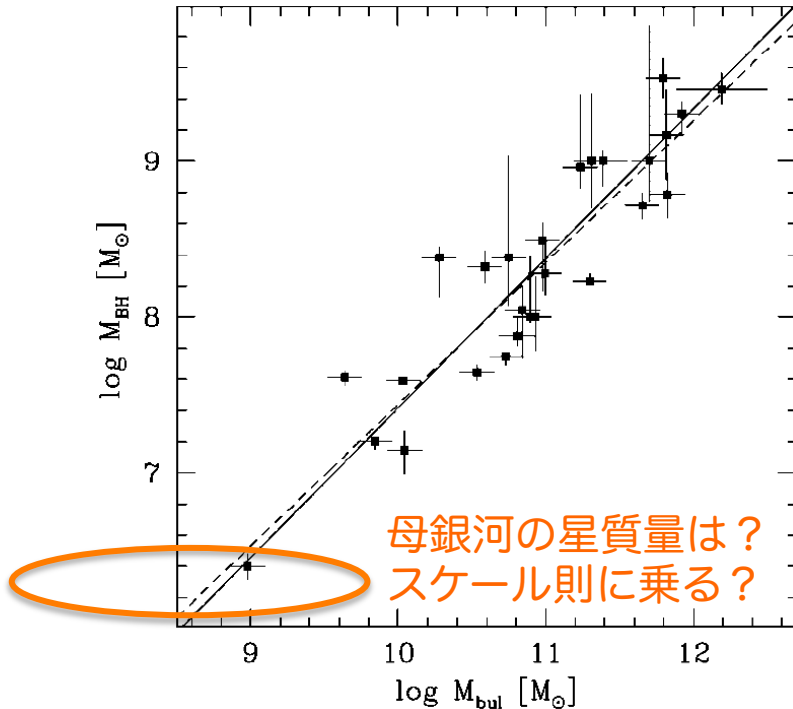
\rightarrow metal-poor AGN with $\log M_{\text{BH}}/M_{\text{sun}} \sim 6 - 6.5$

AGNs in XMPGs: Subaru NIR imaging

N

M_{BH} が測定されているので、
母銀河の星質量やサイズが気になる
→Subaru/IRCS K-band撮像 (2014年3月)

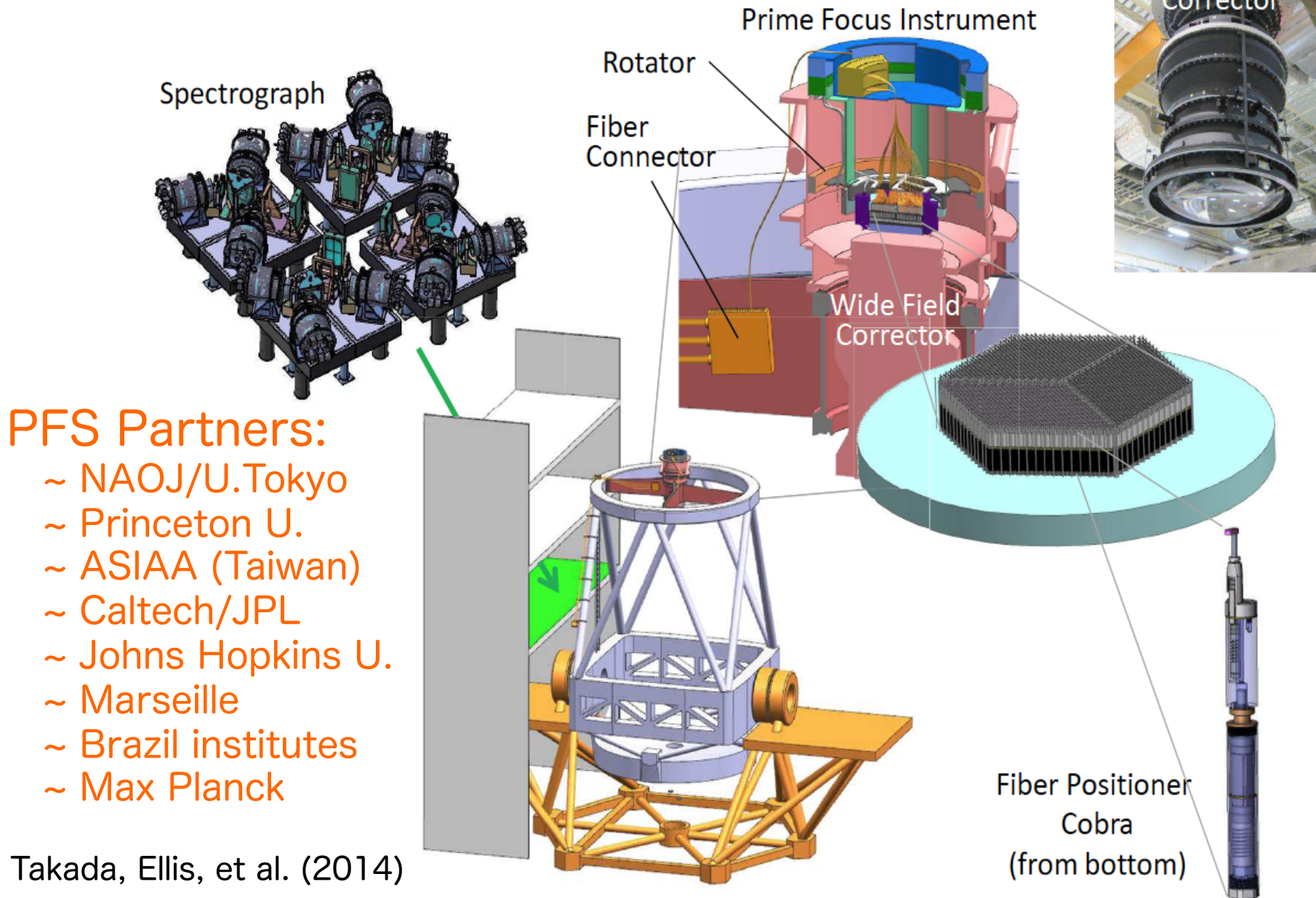
悪天候 (30分くらいしか晴れず)
AO観測で空間分解したかったが
分解できず...



卒業研究 (川崎光太@愛媛大)

若い時期のAGNを調べる上で興味深い
ターゲットだが、現時点では数天体しか
知られていない
→ SDSS分光限界が浅すぎるため

Subaru Prime Focus Spectrograph (PFS)





Takada+14

PFS parameters and survey plan

Number of fibers	2400 (600 for each spectrograph)		
Field of view	1.3 deg (hexagonal – diameter of circumscribed circle)		
Field of view area	1.098 deg ²		
Fiber diameter	1.13'' diameter at the field center; 1.03'' at the edge		
	Blue arm	Red arm	IR arm
Wavelength coverage [nm]	380–670	650–1000	970–1260
Spectral resolution $\lambda/\Delta\lambda$	1900	2400	3500
Pixel scale [$\text{\AA}/\text{pix}$]	0.71	0.85	0.81
Read-out noise [e^- rms/pix]	3	3	4 ^a
Detector type/read-out mode	CCD	CCD	HgCdTe/SUTR
Thermal background [$e^-/\text{pix/sec}$]	None	None	0.013
Dark current [$e^-/\text{pix/sec}$]	3.89×10^{-4}	3.89×10^{-4}	0.01
Spectrograph image quality [μm rms/axis]	14	14 ^b	14

IR arm, not only blue & red arms

- ~ wide field-of-view AND wide wavelength coverage

Multi-layer survey (not yet fixed)

- ~ cosmology component (15 min x 2 visits for $>1000 \text{ deg}^2$)
- ~ galaxy/AGN component (longer exposure for 10-30 deg^2)
- ~ Galactic archaeology component (for specific fields)

First light in 2017, legacy survey will start in 2019 (?)



Summary

➤ AGN電離領域は一般に super-solar metallicity

- ~ high-z ほど metal rich と言われていたのは観測バイアス
- ~ 明るいAGN (M_{BH} の大きなAGN) ほど metal rich
- ~ 高赤方偏移で金属量が低くなるトレンドは見られない
- ~ BLR を見ても NLR を見ても同様
- ~ ALMA で high-z low-L dusty AGN を見ても metal rich

➤ 超低金属量銀河 (XMPG) の中に AGN が見つかってきた

- ~ SDSS で $z \sim 0.1 - 0.3$ に数天体の発見が報告されている
- ~ broad H α だけを頼りにしているので確実かどうかは？？
- ~ 若いAGN/SMBHの状況を調べる良いターゲットかも

➤ Subaru Prime Focus Spectrograph

- ~ 暗くてレアな天体を分光探査するための最強装置
- ~ 2017年頃 first light、2019年頃にレガシー探査を開始